

Obs.	VAR1	checking_status	duration	credit_history	purpose	credit_amount	savings	employment
1	1	A11	6	A34	A43	1169	A65	A75
2	2	A12	48	A32	A43	5951	A61	A73
3	3	A14	12	A34	A46	2096	A61	A74
4	4	A11	42	A32	A42	7882	A61	A74
5	5	A11	24	A33	A40	4870	A61	A73

Obs.	installment_rate	personal_status	other_parties	residence_since	property_magnitude	age
1	4	A93	A101	4	A121	67
2	2	A92	A101	2	A121	22
3	2	A93	A101	3	A121	49
4	2	A93	A103	4	A122	45
5	3	A93	A101	4	A124	53

Obs.	other_payment_plans	housing	existing_credits	job	num_dependents	telephone	foreign_worker	class
1	A143	A152	2	A173	1	A192	A201	0
2	A143	A152	1	A173	1	A191	A201	1
3	A143	A152	1	A172	2	A191	A201	0
4	A143	A153	1	A173	2	A191	A201	0
5	A143	A153	2	A173	2	A191	A201	1

Obs.	_TYPE_	_FREQ_	_STAT_	class	age	duration	credit_amount
1	0	1000	N	1000	1000	1000	1000
2	0	1000	MIN	0	19	4	250
3	0	1000	MAX	1	75	72	18424
4	0	1000	MEAN	0.3	35.546	20.903	3271.258
5	0	1000	STD	0.4584868703	11.375468574	12.058814453	2822.736876

Obs.	installment_rate	residence_since	existing_credits	num_dependents
1	1000	1000	1000	1000
2	1	1	1	1
3	4	4	4	2
4	2.973	2.845	1.407	1.155
5	1.1187146743	1.1037178957	0.5776544682	0.3620857718

Variable : age

Moments			
N	1000	Somme des poids	1000
Moyenne	35.546	Somme des observations	35546
Ecart-type	11.3754686	Variance	129.401285
Skewness	1.02073927	Kurtosis	0.59577957
Somme des carrés non corrigée	1392790	Somme des carrés corrigée	129271.884
Coeff Variation	32.0021059	Std Error Mean	0.3597239

Mesures statistiques de base			
Location		Variabilité	
Moyenne	35.54600	Ecart-type	11.37547
Médiane	33.00000	Variance	129.40129
Mode	27.00000	Intervalle	56.00000
		Ecart interquartile	15.00000

Tests de tendance centrale : Mu0=0				
Test	Statistique		p-value	
t de Student	t	98.81467	Pr > t	<.0001
Signe	M	500	Pr >= M	<.0001
Rang signé	S	250250	Pr >= S	<.0001

Tests de normalité				
Test	Statistique		p-value	
Shapiro-Wilk	W	0.917471	Pr < W	<0.0001
Kolmogorov-Smirnov	D	0.111082	Pr > D	<0.0100
Cramer-von Mises	W-Sq	3.711087	Pr > W-Sq	<0.0050
Anderson-Darling	A-Sq	23.2401	Pr > A-Sq	<0.0050

Quantiles (Définition 5)	
Niveau	Quantile
100Max 100%	75.0
99%	67.5
95%	60.0
90%	52.0
75% Q3	42.0
50% Médiane	33.0
25% Q1	27.0
10%	23.0
5%	22.0

Variable : age

Quantiles (Définition 5)	
Niveau	Quantile
1%	20.0
0% Min	19.0

Observations extrêmes			
La plus petite		La plus grande	
Valeur	Obs	Valeur	Obs
19	634	74	431
19	392	74	607
20	906	74	757
20	866	75	331
20	594	75	537

Variable : duration

Moments			
N	1000	Somme des poids	1000
Moyenne	20.903	Somme des observations	20903
Ecart-type	12.0588145	Variance	145.415006
Skewness	1.09418417	Kurtosis	0.91978136
Somme des carrés non corrigée	582205	Somme des carrés corrigée	145269.591
Coeff Variation	57.689396	Std Error Mean	0.3813332

Mesures statistiques de base			
Location		Variabilité	
Moyenne	20.90300	Ecart-type	12.05881
Médiane	18.00000	Variance	145.41501
Mode	24.00000	Intervalle	68.00000
		Ecart interquartile	12.00000

Tests de tendance centrale : $\mu_0=0$				
Test	Statistique		p-value	
t de Student	t	54.81558	Pr > t	<.0001
Signe	M	500	Pr >= M	<.0001
Rang signé	S	250250	Pr >= S	<.0001

Tests de normalité				
Test	Statistique		p-value	
Shapiro-Wilk	W	0.899788	Pr < W	<0.0001
Kolmogorov-Smirnov	D	0.168657	Pr > D	<0.0100
Cramer-von Mises	W-Sq	4.935215	Pr > W-Sq	<0.0050
Anderson-Darling	A-Sq	30.30875	Pr > A-Sq	<0.0050

Quantiles (Définition 5)	
Niveau	Quantile
100Max 100%	72
99%	60
95%	48
90%	36
75% Q3	24
50% Médiane	18
25% Q1	12
10%	9
5%	6

Variable : duration

Quantiles (Définition 5)	
Niveau	Quantile
1%	6
0% Min	4

Observations extrêmes			
La plus petite		La plus grande	
Valeur	Obs	Valeur	Obs
4	944	60	686
4	838	60	715
4	735	60	939
4	528	60	974
4	315	72	678

Variable : credit_amount

Moments			
N	1000	Somme des poids	1000
Moyenne	3271.258	Somme des observations	3271258
Ecart-type	2822.73688	Variance	7967843.47
Skewness	1.94962768	Kurtosis	4.29259031
Somme des carrés non corrigée	1.8661E10	Somme des carrés corrigée	7959875627
Coeff Variation	86.2890324	Std Error Mean	89.2627776

Mesures statistiques de base			
Location		Variabilité	
Moyenne	3271.258	Ecart-type	2823
Médiane	2319.500	Variance	7967843
Mode	1258.000	Intervalle	18174
		Ecart interquartile	2608

Note: Le mode affiché est le plus petit des 5 modes avec un effectif de 3.

Tests de tendance centrale : Mu0=0				
Test	Statistique		p-value	
t de Student	t	36.6475	Pr > t	<.0001
Signe	M	500	Pr >= M	<.0001
Rang signé	S	250250	Pr >= S	<.0001

Tests de normalité				
Test	Statistique		p-value	
Shapiro-Wilk	W	0.793396	Pr < W	<0.0001
Kolmogorov-Smirnov	D	0.164803	Pr > D	<0.0100
Cramer-von Mises	W-Sq	11.03823	Pr > W-Sq	<0.0050
Anderson-Darling	A-Sq	61.64941	Pr > A-Sq	<0.0050

Quantiles (Définition 5)	
Niveau	Quantile
100Max 100%	18424.0
99%	14248.5
95%	9214.0
90%	7201.0
75% Q3	3972.5
50% Médiane	2319.5
25% Q1	1365.0
10%	932.0
5%	708.5

Variable : credit_amount

Quantiles (Définition 5)	
Niveau	Quantile
1%	417.5
0% Min	250.0

Observations extrêmes			
La plus petite		La plus grande	
Valeur	Obs	Valeur	Obs
250	726	15653	638
276	310	15672	888
338	178	15857	819
339	158	15945	96
343	459	18424	916

Variable : duration

Moments			
N	1000	Somme des poids	1000
Moyenne	20.903	Somme des observations	20903
Ecart-type	12.0588145	Variance	145.415006
Skewness	1.09418417	Kurtosis	0.91978136
Somme des carrés non corrigée	582205	Somme des carrés corrigée	145269.591
Coeff Variation	57.689396	Std Error Mean	0.3813332

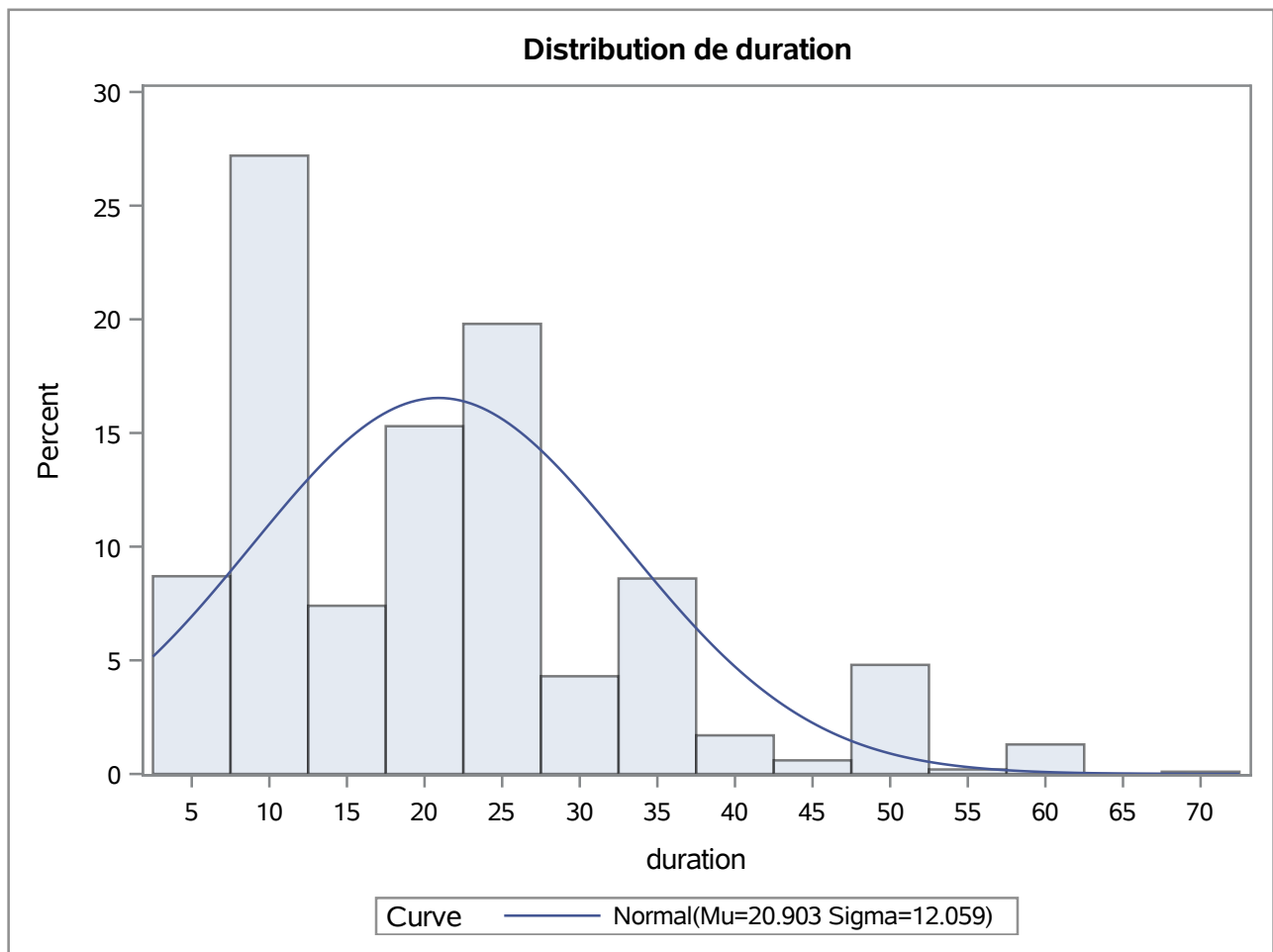
Mesures statistiques de base			
Location		Variabilité	
Moyenne	20.90300	Ecart-type	12.05881
Médiane	18.00000	Variance	145.41501
Mode	24.00000	Intervalle	68.00000
		Ecart interquartile	12.00000

Tests de tendance centrale : Mu0=0				
Test	Statistique		p-value	
t de Student	t	54.81558	Pr > t	<.0001
Signe	M	500	Pr >= M	<.0001
Rang signé	S	250250	Pr >= S	<.0001

Quantiles (Définition 5)	
Niveau	Quantile
100Max 100%	72
99%	60
95%	48
90%	36
75% Q3	24
50% Médiane	18
25% Q1	12
10%	9
5%	6
1%	6
0% Min	4

Variable : duration

Observations extrêmes			
La plus petite		La plus grande	
Valeur	Obs	Valeur	Obs
4	944	60	686
4	838	60	715
4	735	60	939
4	528	60	974
4	315	72	678



Fitted Normal Distribution for duration

Parameters for Normal Distribution		
Paramètre	Symbole	Estimation
Mean	Mu	20.903
Std Dev	Sigma	12.05881

Goodness-of-Fit Tests for Normal Distribution				
Test	Statistique		p-value	
Kolmogorov-Smirnov	D	0.1686571	Pr > D	<0.010
Cramer-von Mises	W-Sq	4.9352151	Pr > W-Sq	<0.005
Anderson-Darling	A-Sq	30.3087484	Pr > A-Sq	<0.005

Quantiles for Normal Distribution		
Pourcentage	Quantile	
	Observé	Estimé
1.0	6.00000	-7.15000
5.0	6.00000	1.06802
10.0	9.00000	5.44901
25.0	12.00000	12.76945
50.0	18.00000	20.90300
75.0	24.00000	29.03655
90.0	36.00000	36.35699
95.0	48.00000	40.73798
99.0	60.00000	48.95600

Variable : credit_amount

Moments			
N	1000	Somme des poids	1000
Moyenne	3271.258	Somme des observations	3271258
Ecart-type	2822.73688	Variance	7967843.47
Skewness	1.94962768	Kurtosis	4.29259031
Somme des carrés non corrigée	1.8661E10	Somme des carrés corrigée	7959875627
Coeff Variation	86.2890324	Std Error Mean	89.2627776

Mesures statistiques de base			
Location		Variabilité	
Moyenne	3271.258	Ecart-type	2823
Médiane	2319.500	Variance	7967843
Mode	1258.000	Intervalle	18174
		Ecart interquartile	2608

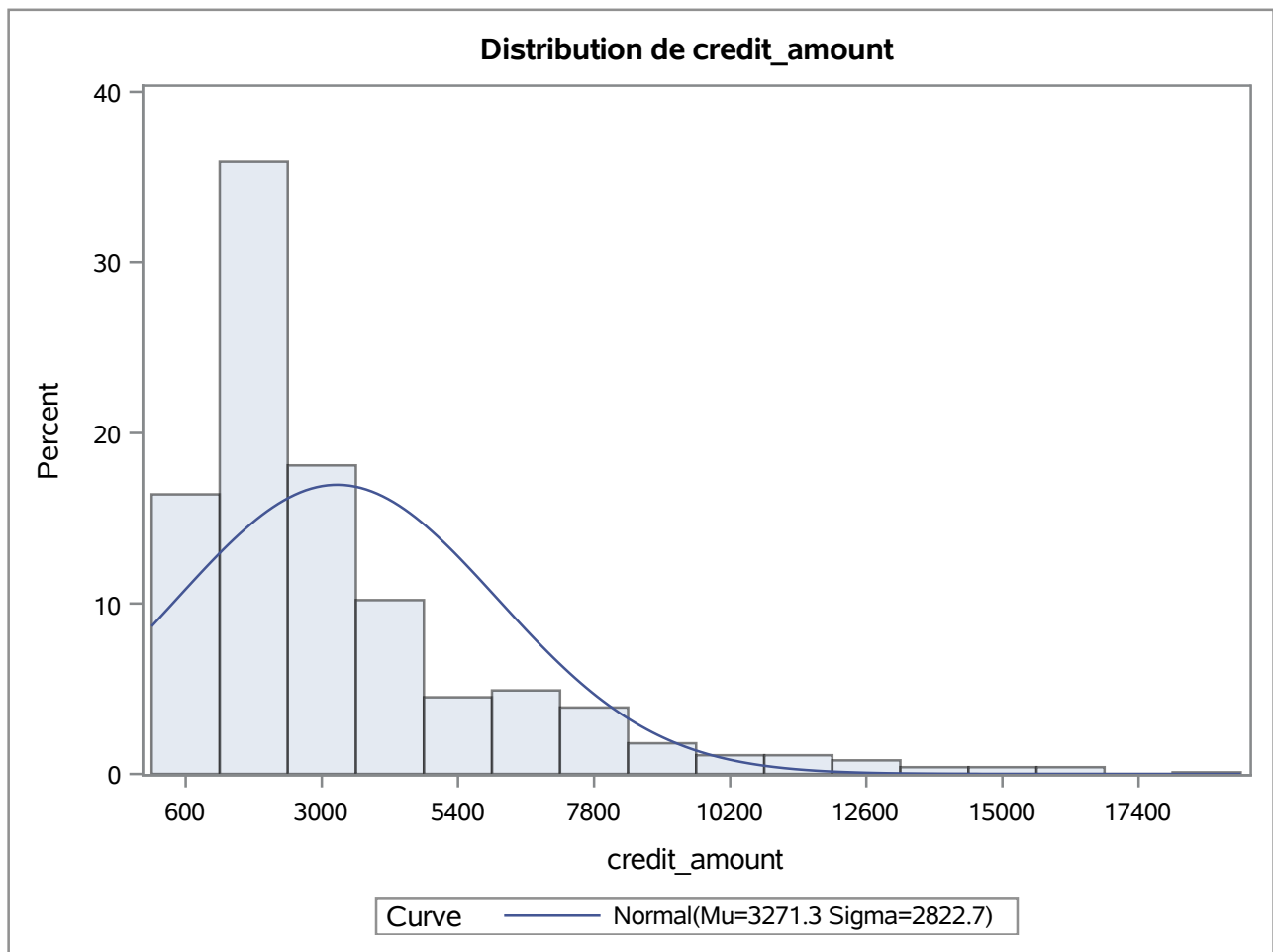
Note: Le mode affiché est le plus petit des 5 modes avec un effectif de 3.

Tests de tendance centrale : Mu0=0				
Test	Statistique		p-value	
t de Student	t	36.6475	Pr > t	<.0001
Signe	M	500	Pr >= M	<.0001
Rang signé	S	250250	Pr >= S	<.0001

Quantiles (Définition 5)	
Niveau	Quantile
100Max 100%	18424.0
99%	14248.5
95%	9214.0
90%	7201.0
75% Q3	3972.5
50% Médiane	2319.5
25% Q1	1365.0
10%	932.0
5%	708.5
1%	417.5
0% Min	250.0

Variable : credit_amount

Observations extrêmes			
La plus petite		La plus grande	
Valeur	Obs	Valeur	Obs
250	726	15653	638
276	310	15672	888
338	178	15857	819
339	158	15945	96
343	459	18424	916



Fitted Normal Distribution for credit_amount

Parameters for Normal Distribution		
Paramètre	Symbole	Estimation
Mean	Mu	3271.258
Std Dev	Sigma	2822.737

Goodness-of-Fit Tests for Normal Distribution				
Test	Statistique		p-value	
Kolmogorov-Smirnov	D	0.1648028	Pr > D	<0.010
Cramer-von Mises	W-Sq	11.0382301	Pr > W-Sq	<0.005
Anderson-Darling	A-Sq	61.6494055	Pr > A-Sq	<0.005

Quantiles for Normal Distribution		
Pourcentage	Quantile	
	Observé	Estimé
1.0	417.500	-3295.410
5.0	708.500	-1371.731
10.0	932.000	-346.225
25.0	1365.000	1367.351
50.0	2319.500	3271.258
75.0	3972.500	5175.165
90.0	7201.000	6888.741
95.0	9214.000	7914.247
99.0	14248.500	9837.926

Variable : installment_rate

Moments			
N	1000	Somme des poids	1000
Moyenne	2.973	Somme des observations	2973
Ecart-type	1.11871467	Variance	1.25152252
Skewness	-0.5313481	Kurtosis	-1.2104731
Somme des carrés non corrigée	10089	Somme des carrés corrigée	1250.271
Coeff Variation	37.6291515	Std Error Mean	0.03537686

Mesures statistiques de base			
Location		Variabilité	
Moyenne	2.973000	Ecart-type	1.11871
Médiane	3.000000	Variance	1.25152
Mode	4.000000	Intervalle	3.00000
		Ecart interquartile	2.00000

Tests de tendance centrale : $\mu_0=0$				
Test	Statistique		p-value	
t de Student	t	84.03797	Pr > t	<.0001
Signe	M	500	Pr >= M	<.0001
Rang signé	S	250250	Pr >= S	<.0001

Quantiles (Définition 5)	
Niveau	Quantile
100Max 100%	4
99%	4
95%	4
90%	4
75% Q3	4
50% Médiane	3
25% Q1	2
10%	1
5%	1
1%	1
0% Min	1

Variable : installment_rate

Observations extrêmes			
La plus petite		La plus grande	
Valeur	Obs	Valeur	Obs
1	983	4	994
1	973	4	995
1	972	4	997
1	970	4	998
1	962	4	999

Variable : residence_since

Moments			
N	1000	Somme des poids	1000
Moyenne	2.845	Somme des observations	2845
Ecart-type	1.1037179	Variance	1.21819319
Skewness	-0.2725698	Kurtosis	-1.3814485
Somme des carrés non corrigée	9311	Somme des carrés corrigée	1216.975
Coeff Variation	38.7950051	Std Error Mean	0.03490262

Mesures statistiques de base			
Location		Variabilité	
Moyenne	2.845000	Ecart-type	1.10372
Médiane	3.000000	Variance	1.21819
Mode	4.000000	Intervalle	3.00000
		Ecart interquartile	2.00000

Tests de tendance centrale : Mu0=0				
Test	Statistique		p-value	
t de Student	t	81.51249	Pr > t	<.0001
Signe	M	500	Pr >= M	<.0001
Rang signé	S	250250	Pr >= S	<.0001

Quantiles (Définition 5)	
Niveau	Quantile
100Max 100%	4
99%	4
95%	4
90%	4
75% Q3	4
50% Médiane	3
25% Q1	2
10%	1
5%	1
1%	1
0% Min	1

Variable : residence_since

Observations extrêmes			
La plus petite		La plus grande	
Valeur	Obs	Valeur	Obs
1	991	4	996
1	987	4	997
1	983	4	998
1	966	4	999
1	965	4	1000

Variable : age

Moments			
N	1000	Somme des poids	1000
Moyenne	35.546	Somme des observations	35546
Ecart-type	11.3754686	Variance	129.401285
Skewness	1.02073927	Kurtosis	0.59577957
Somme des carrés non corrigée	1392790	Somme des carrés corrigée	129271.884
Coeff Variation	32.0021059	Std Error Mean	0.3597239

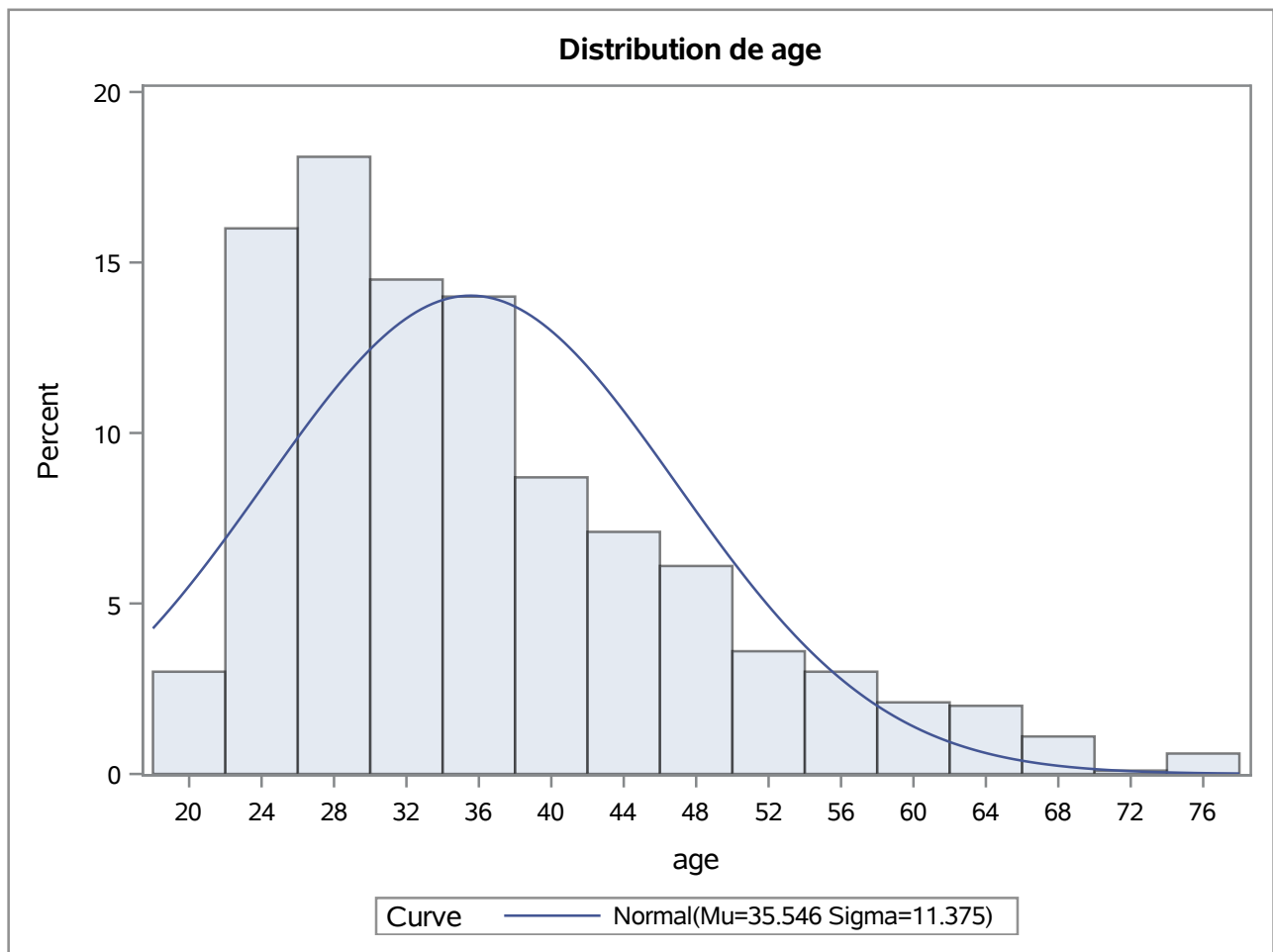
Mesures statistiques de base			
Location		Variabilité	
Moyenne	35.54600	Ecart-type	11.37547
Médiane	33.00000	Variance	129.40129
Mode	27.00000	Intervalle	56.00000
		Ecart interquartile	15.00000

Tests de tendance centrale : $\mu_0=0$				
Test	Statistique		p-value	
t de Student	t	98.81467	Pr > t	<.0001
Signe	M	500	Pr >= M	<.0001
Rang signé	S	250250	Pr >= S	<.0001

Quantiles (Définition 5)	
Niveau	Quantile
100Max 100%	75.0
99%	67.5
95%	60.0
90%	52.0
75% Q3	42.0
50% Médiane	33.0
25% Q1	27.0
10%	23.0
5%	22.0
1%	20.0
0% Min	19.0

Variable : age

Observations extrêmes			
La plus petite		La plus grande	
Valeur	Obs	Valeur	Obs
19	634	74	431
19	392	74	607
20	906	74	757
20	866	75	331
20	594	75	537



Fitted Normal Distribution for age

Parameters for Normal Distribution		
Paramètre	Symbole	Estimation
Mean	Mu	35.546
Std Dev	Sigma	11.37547

Goodness-of-Fit Tests for Normal Distribution				
Test	Statistique		p-value	
Kolmogorov-Smirnov	D	0.1110823	Pr > D	<0.010
Cramer-von Mises	W-Sq	3.7110872	Pr > W-Sq	<0.005
Anderson-Darling	A-Sq	23.2400956	Pr > A-Sq	<0.005

Quantiles for Normal Distribution		
Pourcentage	Quantile	
	Observé	Estimé
1.0	20.0000	9.08270
5.0	22.0000	16.83502
10.0	23.0000	20.96775
25.0	27.0000	27.87336
50.0	33.0000	35.54600
75.0	42.0000	43.21864
90.0	52.0000	50.12425
95.0	60.0000	54.25698
99.0	67.5000	62.00930

Variable : existing_credits

Moments			
N	1000	Somme des poids	1000
Moyenne	1.407	Somme des observations	1407
Ecart-type	0.57765447	Variance	0.33368468
Skewness	1.27257597	Kurtosis	1.60443937
Somme des carrés non corrigée	2313	Somme des carrés corrigée	333.351
Coeff Variation	41.0557547	Std Error Mean	0.01826704

Mesures statistiques de base			
Location		Variabilité	
Moyenne	1.407000	Ecart-type	0.57765
Médiane	1.000000	Variance	0.33368
Mode	1.000000	Intervalle	3.00000
		Ecart interquartile	1.00000

Tests de tendance centrale : Mu0=0				
Test	Statistique		p-value	
t de Student	t	77.02398	Pr > t	<.0001
Signe	M	500	Pr >= M	<.0001
Rang signé	S	250250	Pr >= S	<.0001

Quantiles (Définition 5)	
Niveau	Quantile
100Max 100%	4
99%	3
95%	2
90%	2
75% Q3	2
50% Médiane	1
25% Q1	1
10%	1
5%	1
1%	1
0% Min	1

Variable : existing_credits

Observations extrêmes			
La plus petite		La plus grande	
Valeur	Obs	Valeur	Obs
1	1000	4	198
1	999	4	591
1	998	4	654
1	997	4	808
1	996	4	891

Variable : num_dependents

Moments			
N	1000	Somme des poids	1000
Moyenne	1.155	Somme des observations	1155
Ecart-type	0.36208577	Variance	0.13110611
Skewness	1.90944472	Kurtosis	1.64927369
Somme des carrés non corrigée	1465	Somme des carrés corrigée	130.975
Coeff Variation	31.3494175	Std Error Mean	0.01145016

Mesures statistiques de base			
Location		Variabilité	
Moyenne	1.155000	Ecart-type	0.36209
Médiane	1.000000	Variance	0.13111
Mode	1.000000	Intervalle	1.00000
		Ecart interquartile	0

Tests de tendance centrale : $\mu_0=0$				
Test	Statistique		p-value	
t de Student	t	100.872	Pr > t	<.0001
Signe	M	500	Pr >= M	<.0001
Rang signé	S	250250	Pr >= S	<.0001

Quantiles (Définition 5)	
Niveau	Quantile
100Max 100%	2
99%	2
95%	2
90%	2
75% Q3	1
50% Médiane	1
25% Q1	1
10%	1
5%	1
1%	1
0% Min	1

Variable : num_dependents

Observations extrêmes			
La plus petite		La plus grande	
Valeur	Obs	Valeur	Obs
1	1000	2	972
1	999	2	979
1	998	2	984
1	997	2	991
1	996	2	992

Variable : class

Moments			
N	1000	Somme des poids	1000
Moyenne	0.3	Somme des observations	300
Ecart-type	0.45848687	Variance	0.21021021
Skewness	0.87418338	Kurtosis	-1.238284
Somme des carrés non corrigée	300	Somme des carrés corrigée	210
Coeff Variation	152.828957	Std Error Mean	0.01449863

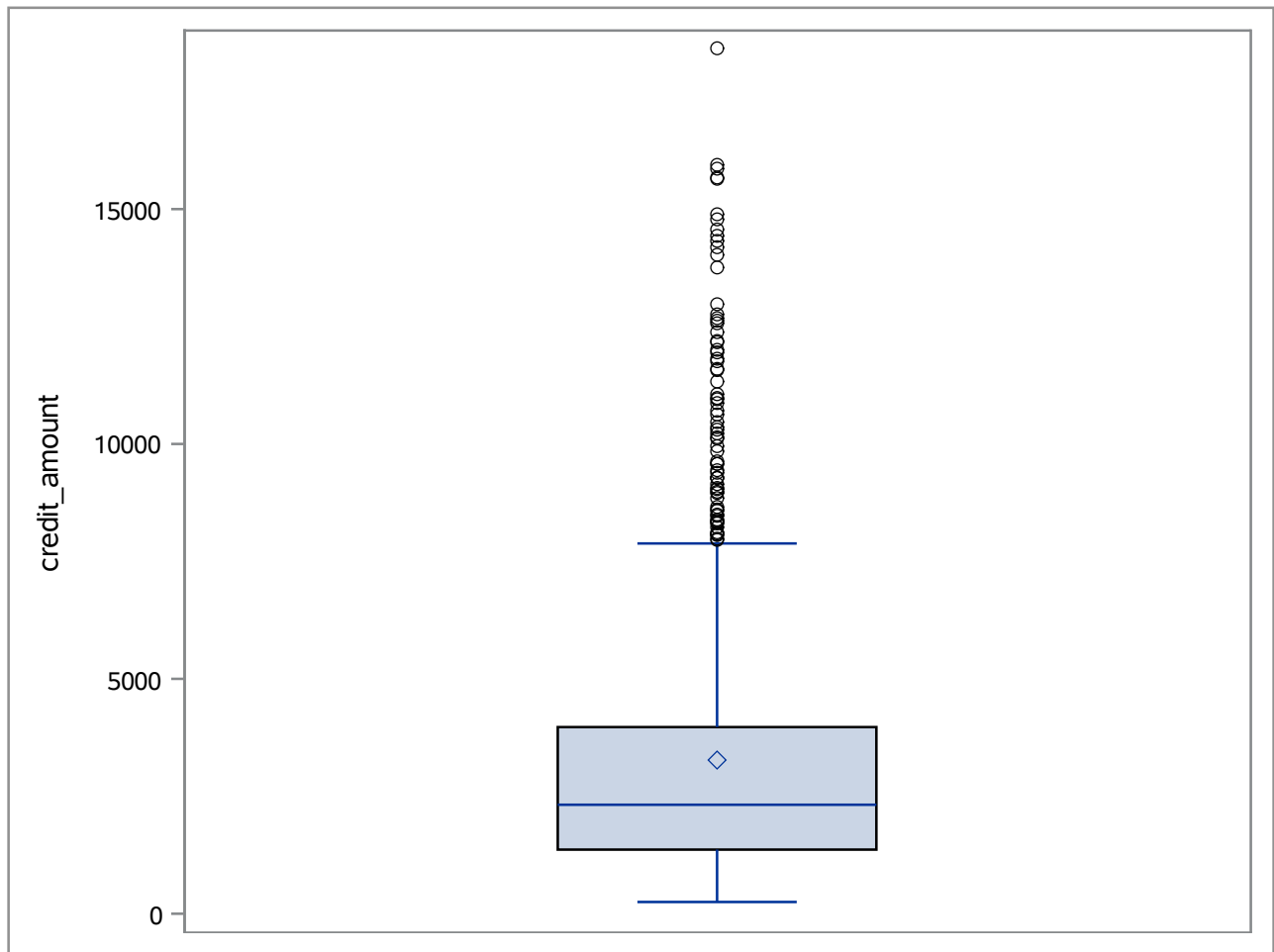
Mesures statistiques de base			
Location		Variabilité	
Moyenne	0.300000	Ecart-type	0.45849
Médiane	0.000000	Variance	0.21021
Mode	0.000000	Intervalle	1.00000
		Ecart interquartile	1.00000

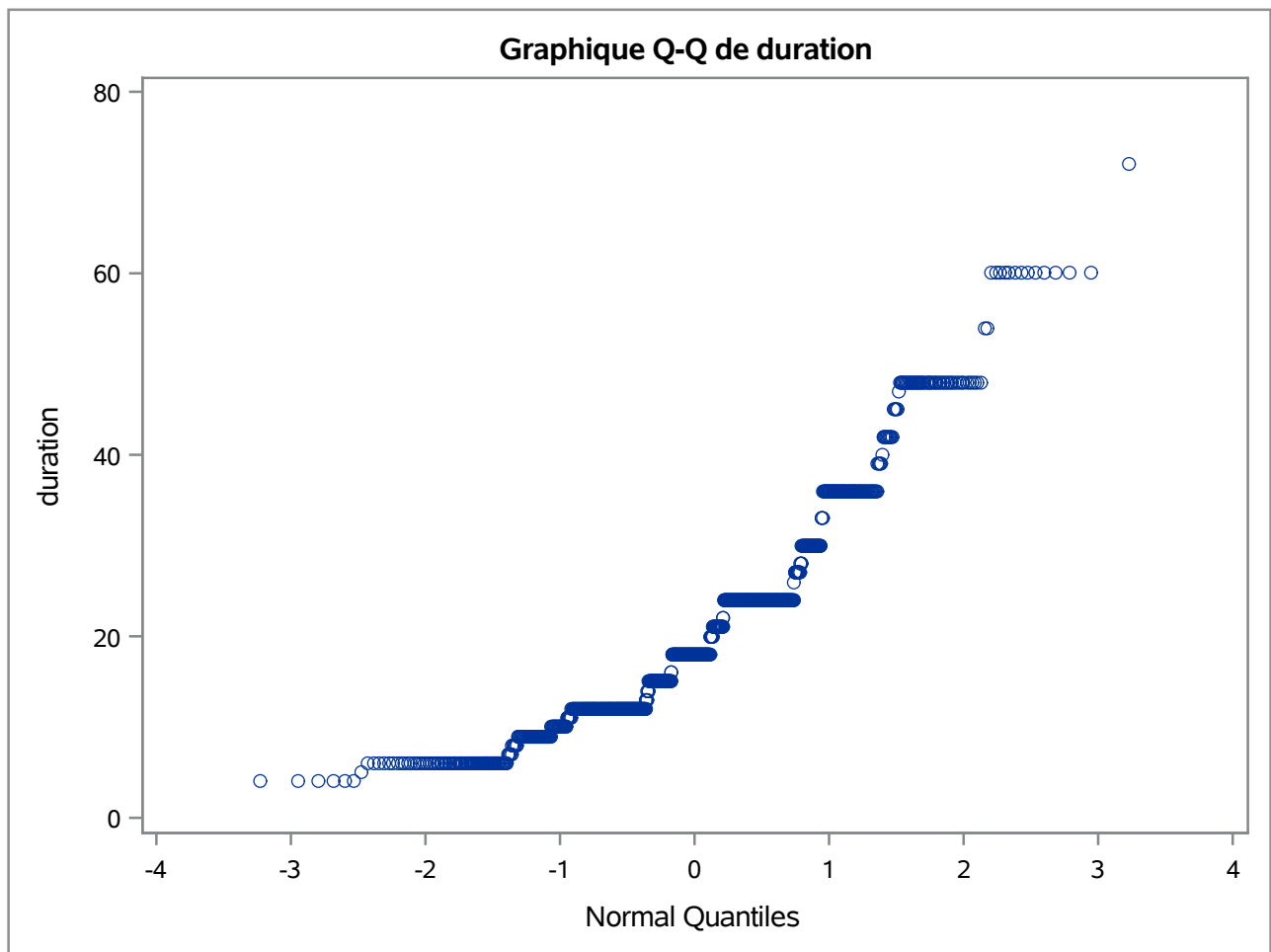
Tests de tendance centrale : Mu0=0				
Test	Statistique		p-value	
t de Student	t	20.69161	Pr > t	<.0001
Signe	M	150	Pr >= M	<.0001
Rang signé	S	22575	Pr >= S	<.0001

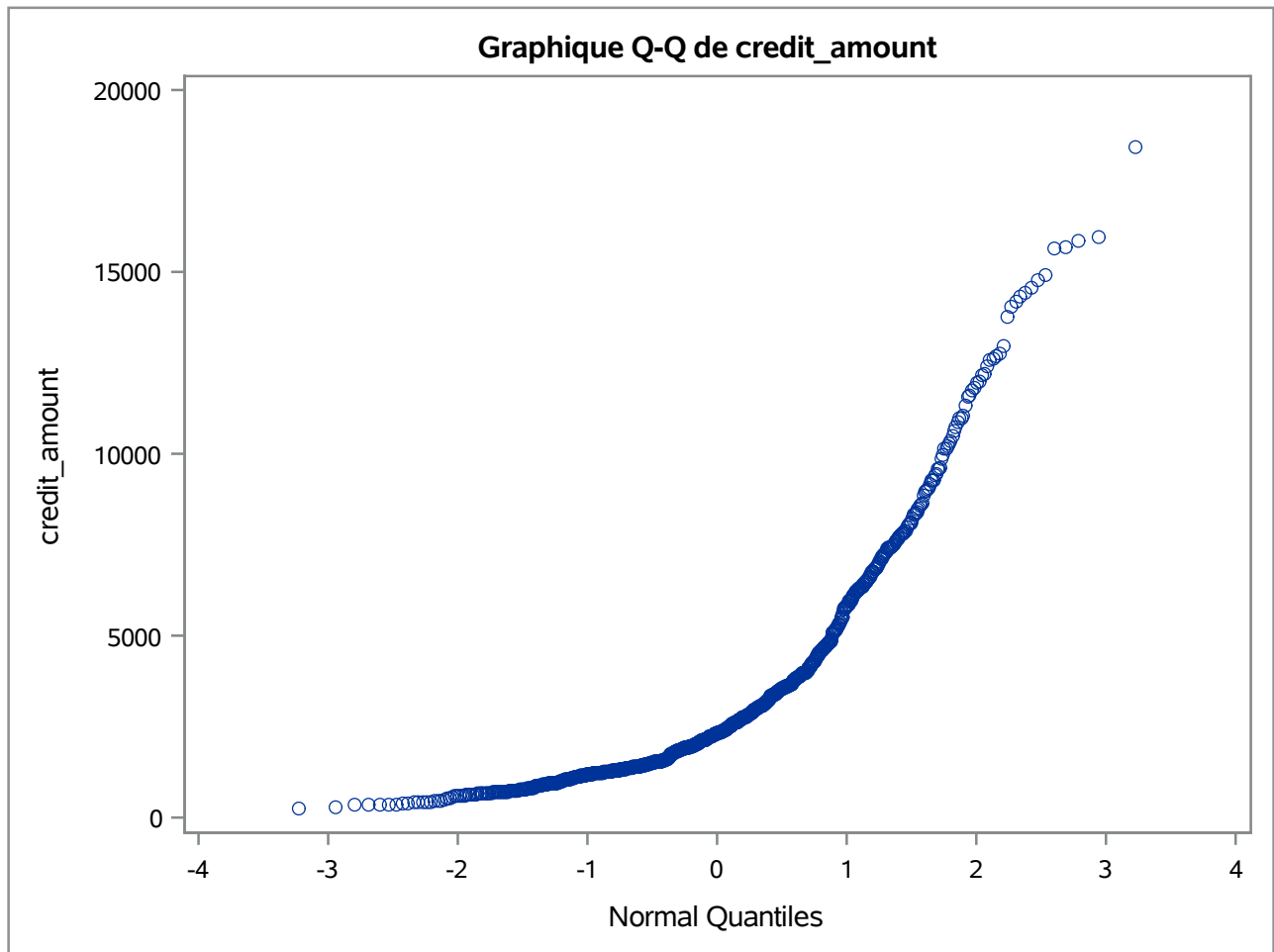
Quantiles (Définition 5)	
Niveau	Quantile
100Max 100%	1
99%	1
95%	1
90%	1
75% Q3	1
50% Médiane	0
25% Q1	0
10%	0
5%	0
1%	0
0% Min	0

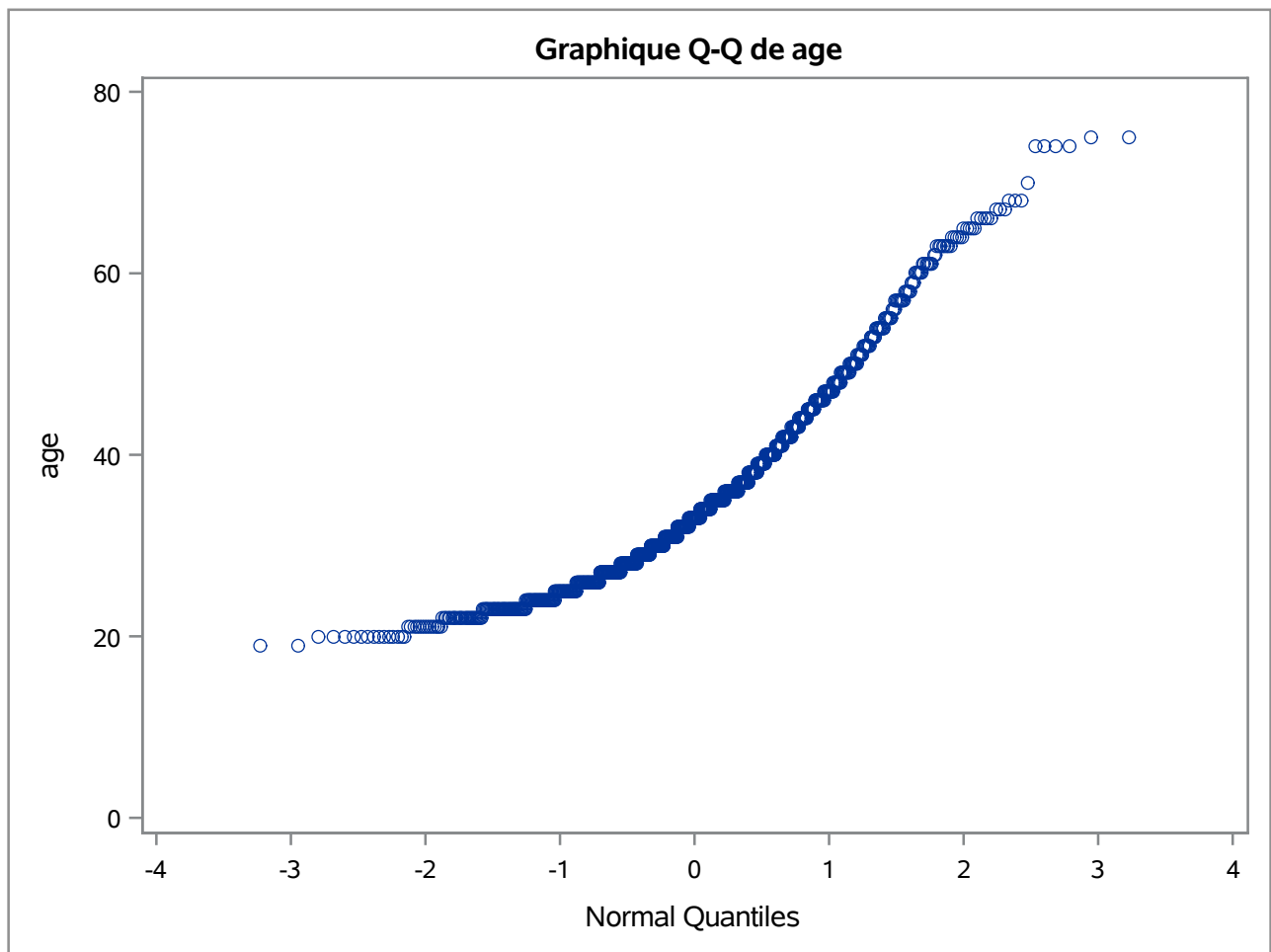
Variable : class

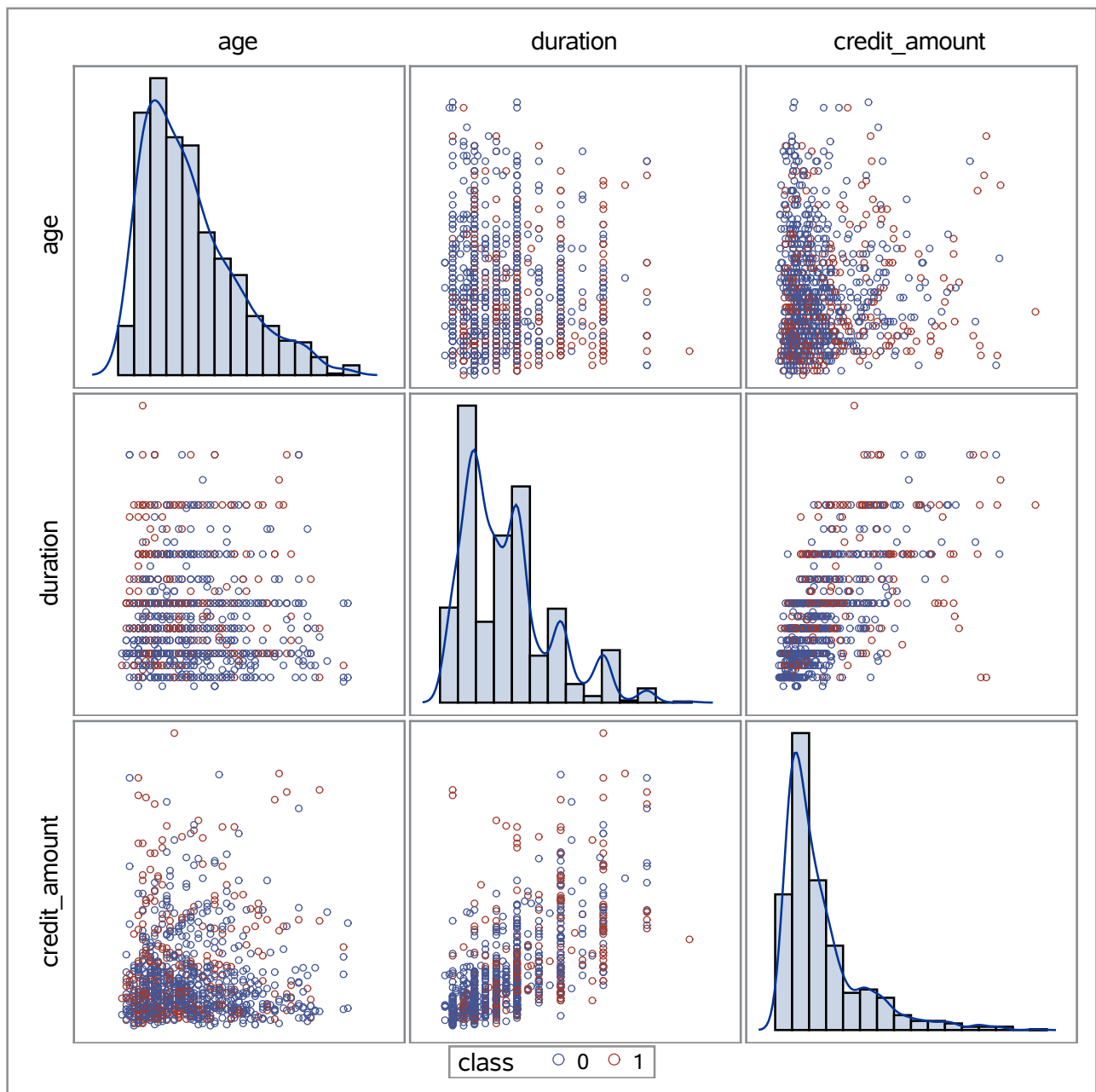
Observations extrêmes			
La plus petite		La plus grande	
Valeur	Obs	Valeur	Obs
0	1000	1	980
0	998	1	981
0	997	1	982
0	996	1	984
0	995	1	999

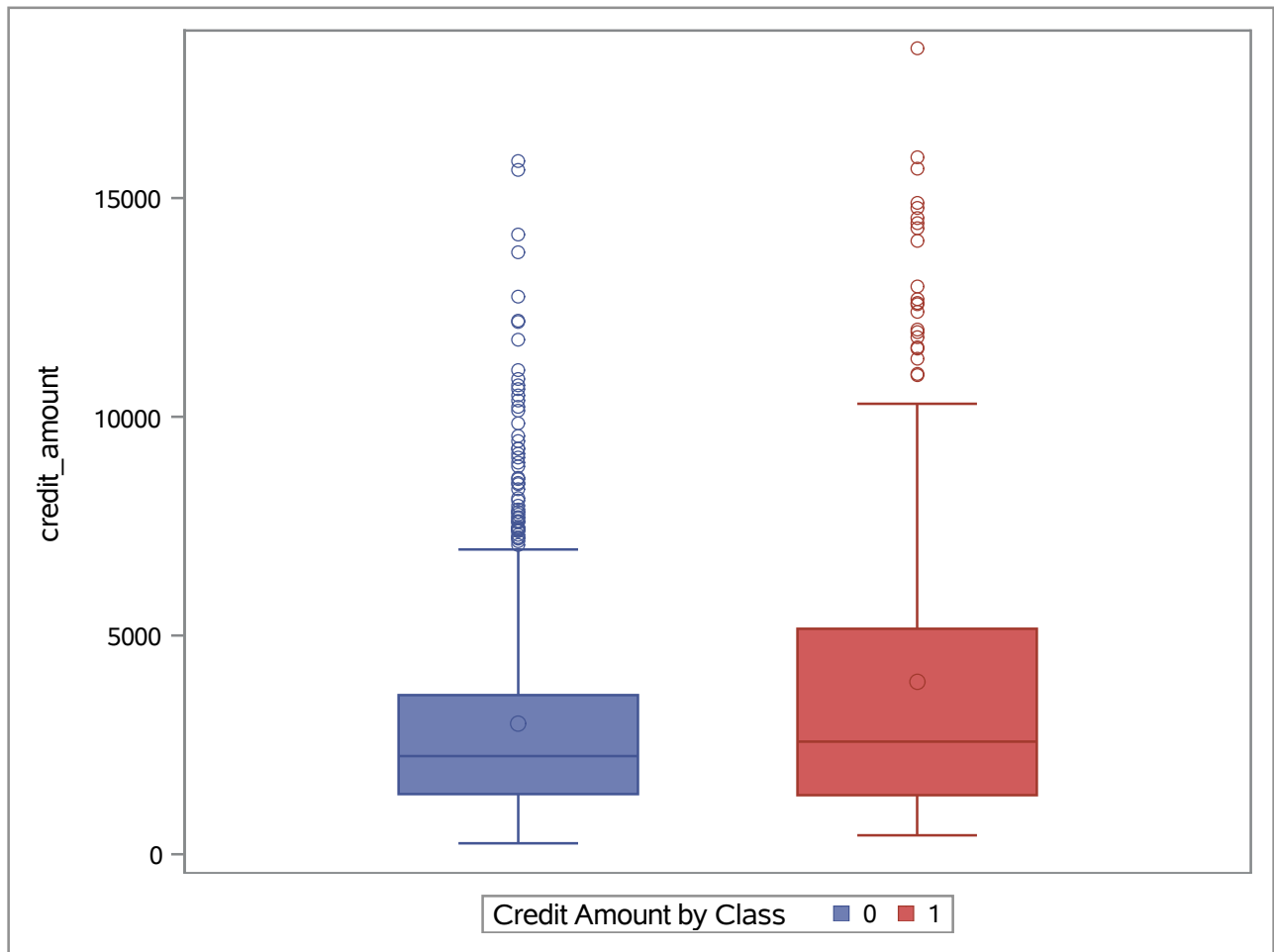


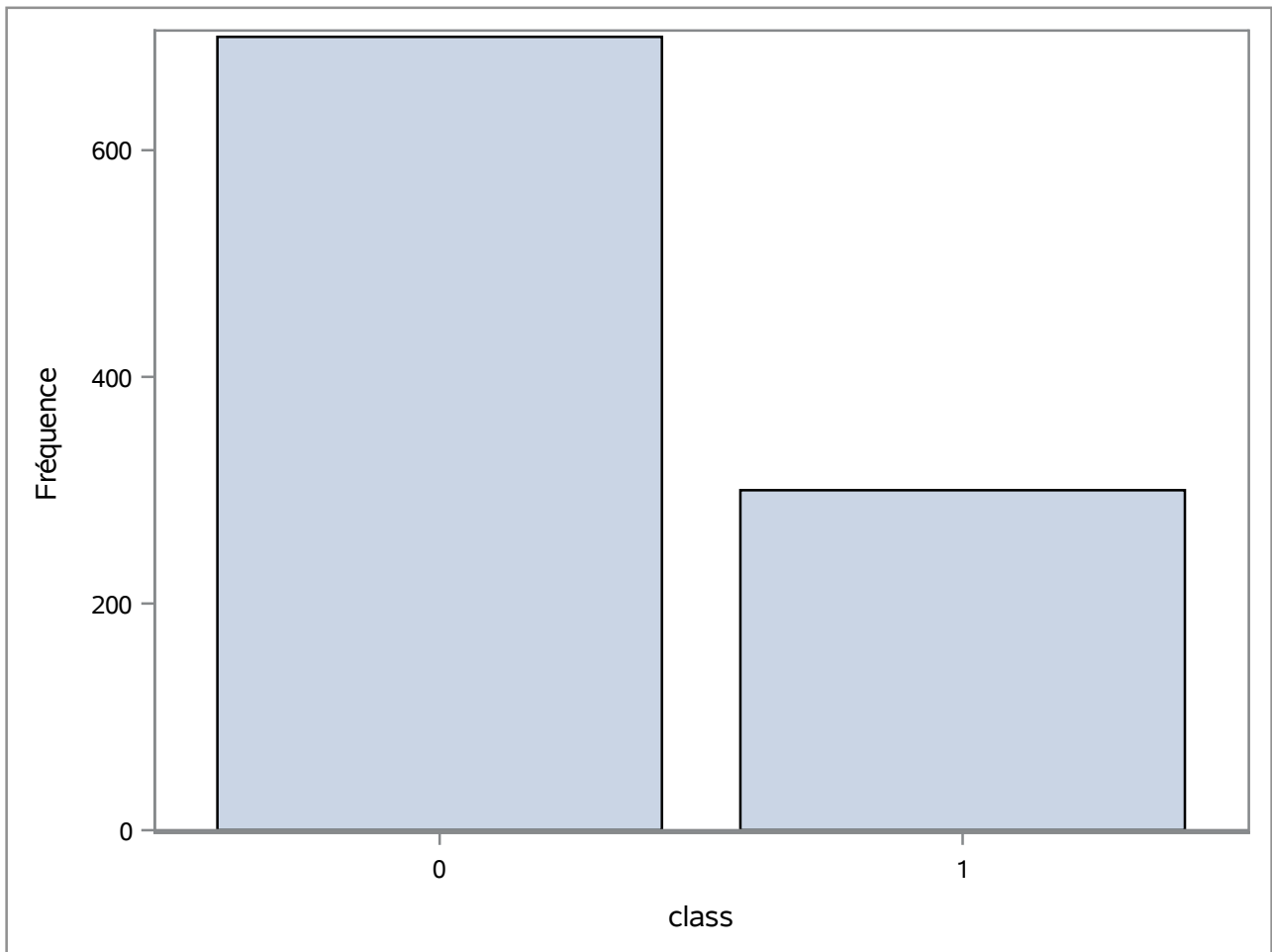












Variable : duration

Moments			
N	300	Somme des poids	300
Moyenne	24.86	Somme des observations	7458
Ecart-type	13.2826389	Variance	176.428495
Skewness	0.83563398	Kurtosis	0.06652123
Somme des carrés non corrigée	238158	Somme des carrés corrigée	52752.12
Coeff Variation	53.4297621	Std Error Mean	0.76687351

Mesures statistiques de base			
Location		Variabilité	
Moyenne	24.86000	Ecart-type	13.28264
Médiane	24.00000	Variance	176.42849
Mode	24.00000	Intervalle	66.00000
		Ecart interquartile	24.00000

Tests de tendance centrale : $\mu_0=0$				
Test	Statistique		p-value	
t de Student	t	32.41734	Pr > t	<.0001
Signe	M	150	Pr >= M	<.0001
Rang signé	S	22575	Pr >= S	<.0001

Quantiles (Définition 5)	
Niveau	Quantile
100Max 100%	72
99%	60
95%	48
90%	48
75% Q3	36
50% Médiane	24
25% Q1	12
10%	12
5%	9
1%	6
0% Min	6

Variable : duration

Observations extrêmes			
La plus petite		La plus grande	
Valeur	Obs	Valeur	Obs
6	918	60	375
6	722	60	715
6	712	60	939
6	596	60	974
6	486	72	678

Variable : credit_amount

Moments			
N	300	Somme des poids	300
Moyenne	3938.12667	Somme des observations	1181438
Ecart-type	3535.81896	Variance	12502015.7
Skewness	1.58395799	Kurtosis	2.14165148
Somme des carrés non corrigée	8390755182	Somme des carrés corrigée	3738102689
Coeff Variation	89.7842872	Std Error Mean	204.140603

Mesures statistiques de base			
Location		Variabilité	
Moyenne	3938.127	Ecart-type	3536
Médiane	2574.500	Variance	12502016
Mode	433.000	Intervalle	17991
		Ecart interquartile	3804

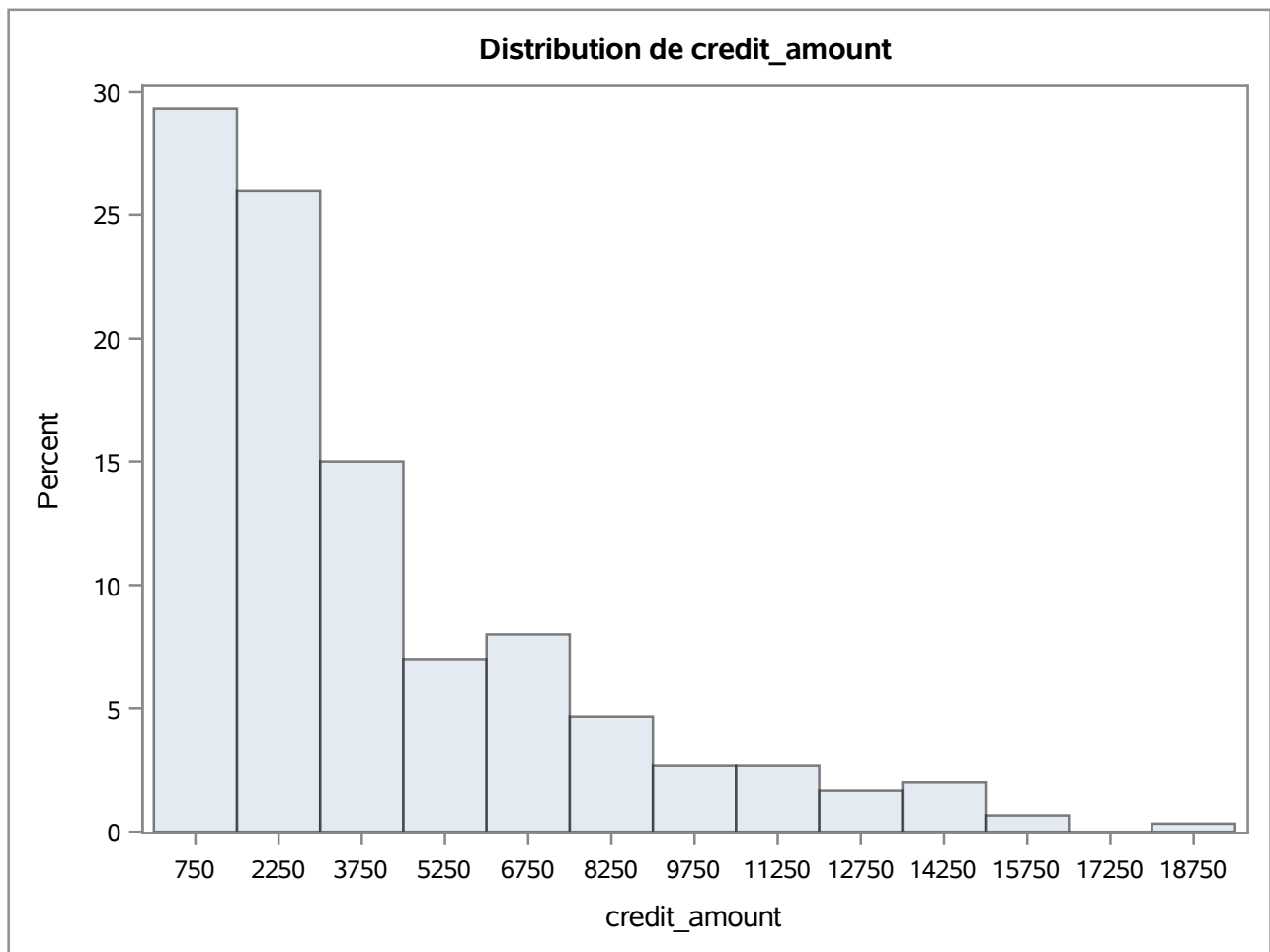
Note: Le mode affiché est le plus petit des 6 modes avec un effectif de 2.

Tests de tendance centrale : Mu0=0				
Test	Statistique		p-value	
t de Student	t	19.29125	Pr > t	<.0001
Signe	M	150	Pr >= M	<.0001
Rang signé	S	22575	Pr >= S	<.0001

Quantiles (Définition 5)	
Niveau	Quantile
100Max 100%	18424.0
99%	15284.0
95%	11968.0
90%	9006.0
75% Q3	5154.0
50% Médiane	2574.5
25% Q1	1350.0
10%	924.5
5%	734.0
1%	528.5
0% Min	433.0

Variable : credit_amount

Observations extrêmes			
La plus petite		La plus grande	
Valeur	Obs	Valeur	Obs
433	722	14782	375
433	250	14896	918
448	472	15672	888
609	440	15945	96
626	549	18424	916



Variable : installment_rate

Moments			
N	300	Somme des poids	300
Moyenne	3.09666667	Somme des observations	929
Ecart-type	1.08839526	Variance	1.18460424
Skewness	-0.7259387	Kurtosis	-0.9571207
Somme des carrés non corrigée	3231	Somme des carrés corrigée	354.196667
Coeff Variation	35.1473172	Std Error Mean	0.06283853

Mesures statistiques de base			
Location		Variabilité	
Moyenne	3.096667	Ecart-type	1.08840
Médiane	4.000000	Variance	1.18460
Mode	4.000000	Intervalle	3.00000
		Ecart interquartile	2.00000

Tests de tendance centrale : $\mu_0=0$				
Test	Statistique		p-value	
t de Student	t	49.27974	Pr > t	<.0001
Signe	M	150	Pr >= M	<.0001
Rang signé	S	22575	Pr >= S	<.0001

Quantiles (Définition 5)	
Niveau	Quantile
100Max 100%	4
99%	4
95%	4
90%	4
75% Q3	4
50% Médiane	4
25% Q1	2
10%	1
5%	1
1%	1
0% Min	1

Variable : installment_rate

Observations extrêmes			
La plus petite		La plus grande	
Valeur	Obs	Valeur	Obs
1	973	4	954
1	919	4	967
1	918	4	974
1	916	4	979
1	827	4	999

Variable : residence_since

Moments			
N	300	Somme des poids	300
Moyenne	2.85	Somme des observations	855
Ecart-type	1.0946052	Variance	1.19816054
Skewness	-0.2535761	Kurtosis	-1.3921204
Somme des carrés non corrigée	2795	Somme des carrés corrigée	358.25
Coeff Variation	38.4071999	Std Error Mean	0.06319706

Mesures statistiques de base			
Location		Variabilité	
Moyenne	2.850000	Ecart-type	1.09461
Médiane	3.000000	Variance	1.19816
Mode	4.000000	Intervalle	3.00000
		Ecart interquartile	2.00000

Tests de tendance centrale : Mu0=0				
Test	Statistique		p-value	
t de Student	t	45.09703	Pr > t	<.0001
Signe	M	150	Pr >= M	<.0001
Rang signé	S	22575	Pr >= S	<.0001

Quantiles (Définition 5)	
Niveau	Quantile
100Max 100%	4
99%	4
95%	4
90%	4
75% Q3	4
50% Médiane	3
25% Q1	2
10%	1
5%	1
1%	1
0% Min	1

Variable : residence_since

Observations extrêmes			
La plus petite		La plus grande	
Valeur	Obs	Valeur	Obs
1	952	4	953
1	949	4	973
1	925	4	974
1	919	4	979
1	810	4	999

Variable : age

Moments			
N	300	Somme des poids	300
Moyenne	33.9633333	Somme des observations	10189
Ecart-type	11.2223792	Variance	125.941795
Skewness	1.15518618	Kurtosis	0.78757918
Somme des carrés non corrigée	383709	Somme des carrés corrigée	37656.5967
Coeff Variation	33.0426319	Std Error Mean	0.64792437

Mesures statistiques de base			
Location		Variabilité	
Moyenne	33.96333	Ecart-type	11.22238
Médiane	31.00000	Variance	125.94179
Mode	23.00000	Intervalle	55.00000
		Ecart interquartile	15.00000

Tests de tendance centrale : Mu0=0				
Test	Statistique		p-value	
t de Student	t	52.41867	Pr > t	<.0001
Signe	M	150	Pr >= M	<.0001
Rang signé	S	22575	Pr >= S	<.0001

Quantiles (Définition 5)	
Niveau	Quantile
100Max 100%	74.0
99%	67.0
95%	58.0
90%	51.5
75% Q3	40.0
50% Médiane	31.0
25% Q1	25.0
10%	23.0
5%	22.0
1%	20.0
0% Min	19.0

Variable : age

Observations extrêmes			
La plus petite		La plus grande	
Valeur	Obs	Valeur	Obs
19	634	66	138
20	594	66	214
20	586	68	847
20	496	68	918
20	189	74	187

Variable : existing_credits

Moments			
N	300	Somme des poids	300
Moyenne	1.36666667	Somme des observations	410
Ecart-type	0.5597021	Variance	0.31326644
Skewness	1.46282134	Kurtosis	2.43885725
Somme des carrés non corrigée	654	Somme des carrés corrigée	93.6666667
Coeff Variation	40.9538124	Std Error Mean	0.03231442

Mesures statistiques de base			
Location		Variabilité	
Moyenne	1.366667	Ecart-type	0.55970
Médiane	1.000000	Variance	0.31327
Mode	1.000000	Intervalle	3.00000
		Ecart interquartile	1.00000

Tests de tendance centrale : $\mu_0=0$				
Test	Statistique		p-value	
t de Student	t	42.29279	Pr > t	<.0001
Signe	M	150	Pr >= M	<.0001
Rang signé	S	22575	Pr >= S	<.0001

Quantiles (Définition 5)	
Niveau	Quantile
100Max 100%	4
99%	3
95%	2
90%	2
75% Q3	2
50% Médiane	1
25% Q1	1
10%	1
5%	1
1%	1
0% Min	1

Variable : existing_credits

Observations extrêmes			
La plus petite		La plus grande	
Valeur	Obs	Valeur	Obs
1	999	3	598
1	984	3	827
1	982	3	928
1	981	4	198
1	980	4	654

Variable : num_dependents

Moments			
N	300	Somme des poids	300
Moyenne	1.15333333	Somme des observations	346
Ecart-type	0.36091053	Variance	0.13025641
Skewness	1.93396014	Kurtosis	1.75183639
Somme des carrés non corrigée	438	Somme des carrés corrigée	38.9466667
Coeff Variation	31.2928205	Std Error Mean	0.02083718

Mesures statistiques de base			
Location		Variabilité	
Moyenne	1.153333	Ecart-type	0.36091
Médiane	1.000000	Variance	0.13026
Mode	1.000000	Intervalle	1.00000
		Ecart interquartile	0

Tests de tendance centrale : Mu0=0				
Test	Statistique		p-value	
t de Student	t	55.34978	Pr > t	<.0001
Signe	M	150	Pr >= M	<.0001
Rang signé	S	22575	Pr >= S	<.0001

Quantiles (Définition 5)	
Niveau	Quantile
100Max 100%	2
99%	2
95%	2
90%	2
75% Q3	1
50% Médiane	1
25% Q1	1
10%	1
5%	1
1%	1
0% Min	1

Variable : num_dependents

Observations extrêmes			
La plus petite		La plus grande	
Valeur	Obs	Valeur	Obs
1	999	2	928
1	982	2	947
1	981	2	949
1	980	2	979
1	974	2	984

Variable : class

Moments			
N	300	Somme des poids	300
Moyenne	1	Somme des observations	300
Ecart-type	0	Variance	0
Skewness	.	Kurtosis	.
Somme des carrés non corrigée	300	Somme des carrés corrigée	0
Coeff Variation	0	Std Error Mean	0

Mesures statistiques de base			
Location		Variabilité	
Moyenne	1.000000	Ecart-type	0
Médiane	1.000000	Variance	0
Mode	1.000000	Intervalle	0
		Ecart interquartile	0

Tests de tendance centrale : $\mu_0=0$				
Test	Statistique		p-value	
t de Student	t	.	Pr > t	.
Signe	M	150	Pr >= M	<.0001
Rang signé	S	22575	Pr >= S	<.0001

Quantiles (Définition 5)	
Niveau	Quantile
100Max 100%	1
99%	1
95%	1
90%	1
75% Q3	1
50% Médiane	1
25% Q1	1
10%	1
5%	1
1%	1
0% Min	1

Variable : class

Observations extrêmes			
La plus petite		La plus grande	
Valeur	Obs	Valeur	Obs
1	999	1	980
1	984	1	981
1	982	1	982
1	981	1	984
1	980	1	999

Obs.	duration	credit_amount	installment_rate	residence_since	age	existing_credits	num_dependents	class
1	6	1169	4	4	67	2	1	0
2	48	5951	2	2	22	1	1	1
3	12	2096	2	3	49	1	2	0
4	42	7882	2	4	45	1	2	0
5	24	4870	3	4	53	2	2	1

Obs.	target_mean_checking_status	target_mean_credit_history	target_mean_savings	target_mean_personal_status
1	0.49270	0.17065	0.17486	0.26642
2	0.39033	0.31887	0.35987	0.35161
3	0.11675	0.17065	0.35987	0.26642
4	0.49270	0.31887	0.35987	0.26642
5	0.49270	0.31818	0.35987	0.26642

Obs.	target_mean_purpose	target_mean_employment	target_mean_other_parties	target_mean_property_magnitude
1	0.22143	0.25296	0.29989	0.21277
2	0.22143	0.30678	0.29989	0.21277
3	0.44000	0.22414	0.29989	0.21277
4	0.32044	0.22414	0.19231	0.30603
5	0.38034	0.30678	0.29989	0.43506

Obs.	target_mean_other_payment_plans	target_mean_foreign_worker	target_mean_housing	target_mean_telephone	target_mean_job
1	0.27518	0.30737	0.26087	0.27970	0.29524
2	0.27518	0.30737	0.26087	0.31376	0.29524
3	0.27518	0.30737	0.26087	0.31376	0.28000
4	0.27518	0.30737	0.40741	0.31376	0.29524
5	0.27518	0.30737	0.40741	0.31376	0.29524

Méthode de sélection	Echantillonnage aléatoire simple
Variable de niveau (de discrétisation)	class

Table d'entrée	STARTIFIED_DATA
Valeur initiale du nombre aléatoire	1234
Taux d'échantillonnage du niveau de discrétisation	0.7
Nombre de niveaux de discrétisation	2
Taille d'échantillon totale	700
Table de sortie	STARTIFIED_CREDIT

Informations sur le modèle	
Table	WORK.TRAIN
Variable de réponse	class
Nombre de niveaux de réponse	2
Modèle	logit binaire
Technique d'optimisation	Score de Fisher

Nb d'observations lues	700
Nb d'observations utilisées	700

Profil de réponse		
Valeur ordonnée	class	Fréquence totale
1	1	210
2	0	490

La probabilité modélisée est class='1'.

Etat de convergence du modèle
Critère de convergence (GCONV=1E-8) respecté.

Statistique d'ajustement du modèle		
Critère	Constante uniquement	Constante et Covariables
AIC	857.210	684.927
SC	861.761	780.500
-2 Log L	855.210	642.927

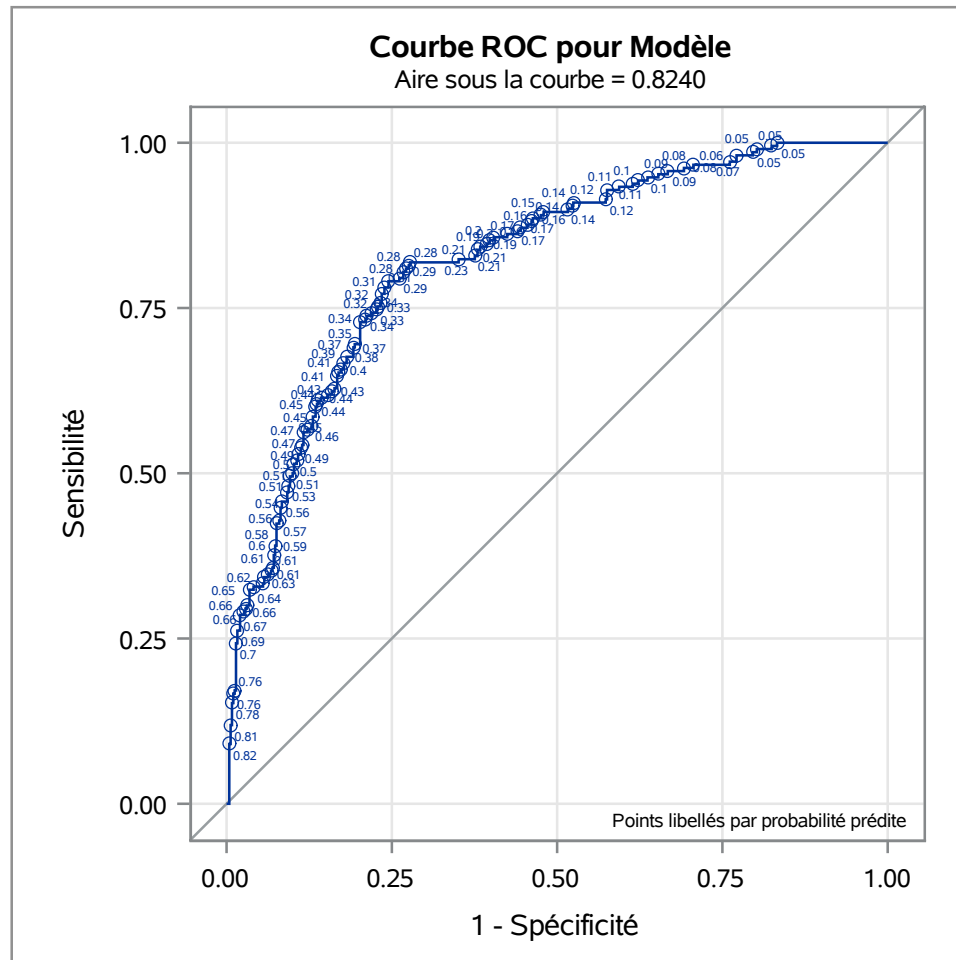
Test de l'hypothèse nulle globale : BETA=0			
Test	khi-2	DDL	Pr > khi-2
Rapport de vrais	212.2829	20	<.0001
Score	187.1848	20	<.0001
Wald	138.1793	20	<.0001

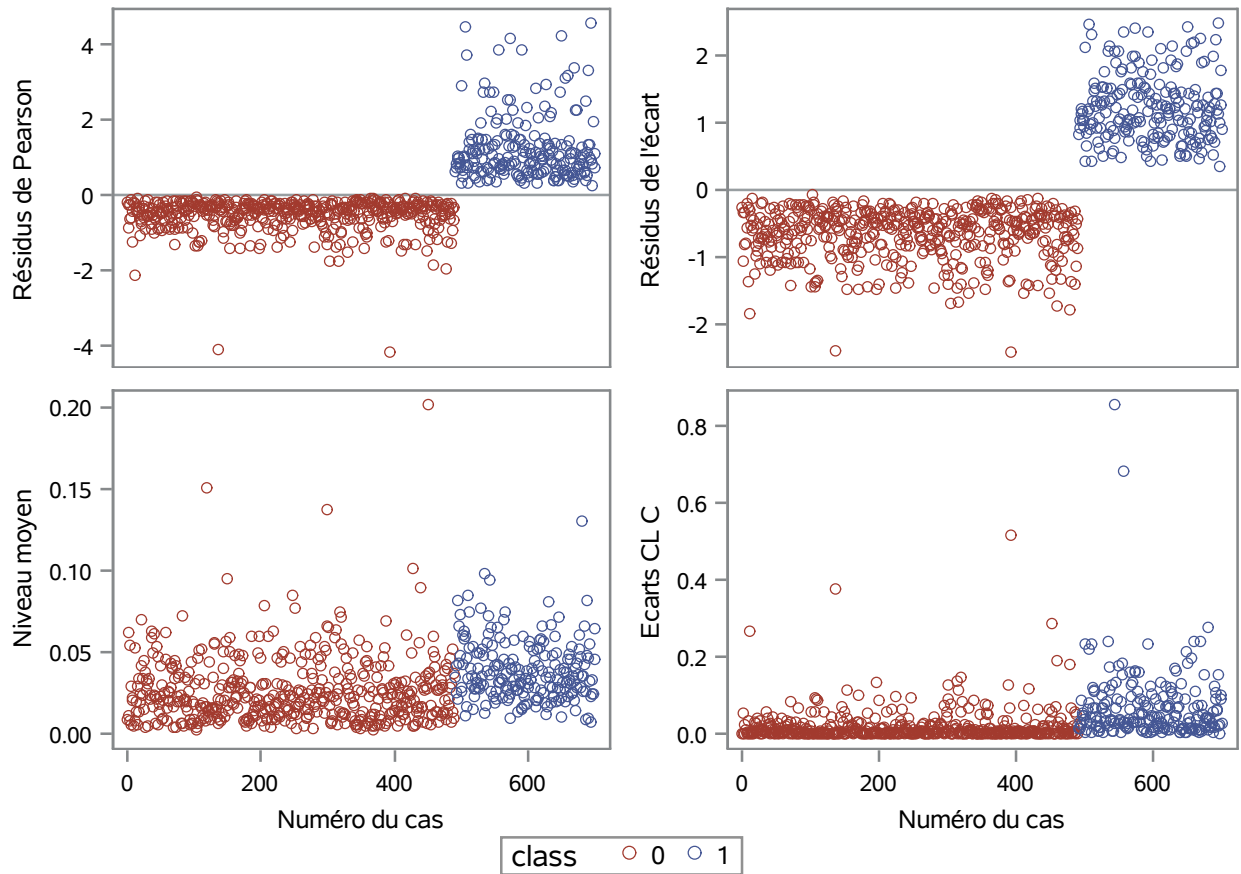
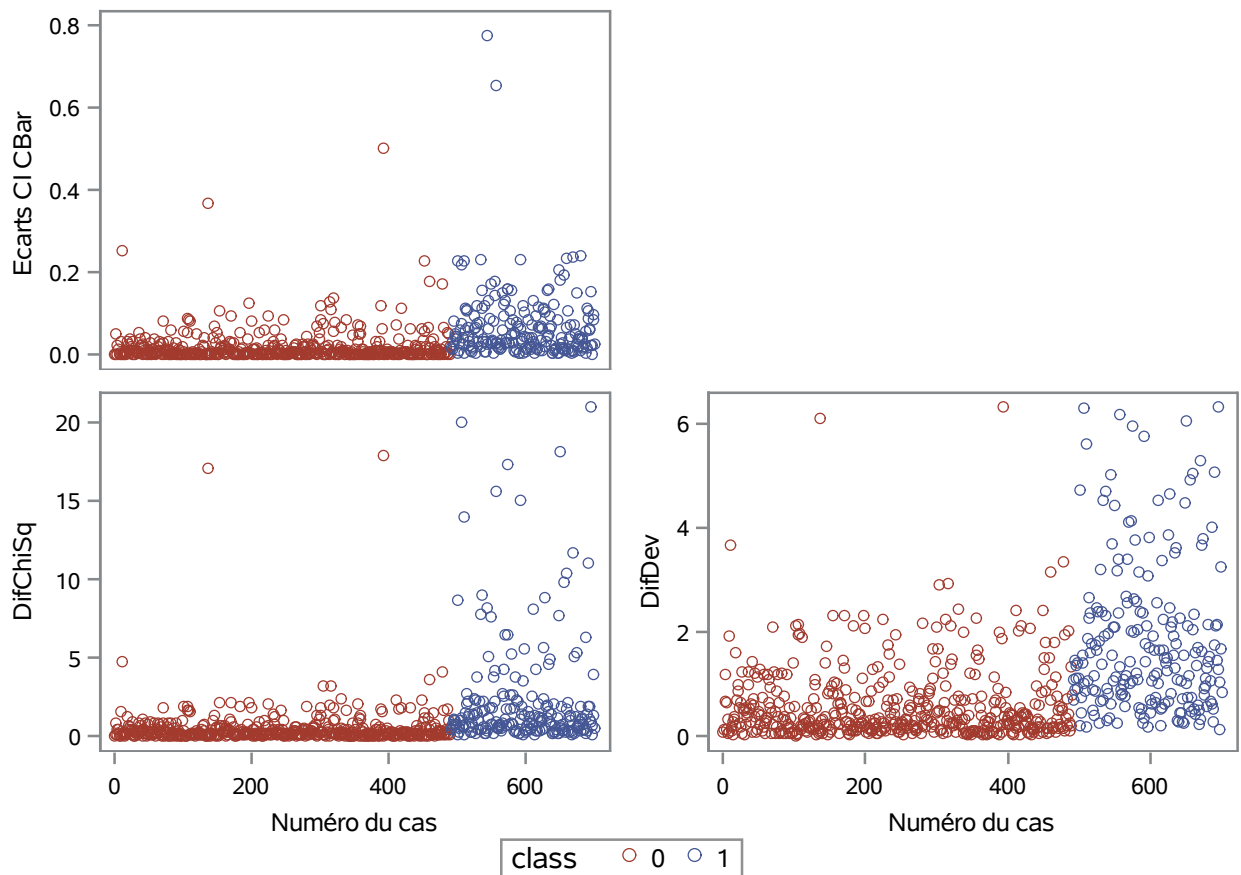
Analyse des valeurs estimées du maximum de vraisemblance					
Paramètre	DDL	Estimation	Erreur type	Khi-2 de Wald	Pr > khi-2
Intercept	1	-20.7480	3.6973	31.4902	<.0001
age	1	-0.0190	0.0103	3.3852	0.0658
duration	1	0.0224	0.0105	4.6062	0.0319
credit_amount	1	0.000067	0.000049	1.9204	0.1658
installment_rate	1	0.2934	0.1004	8.5343	0.0035
residence_since	1	0.0231	0.0989	0.0545	0.8155
existing_credits	1	0.0367	0.1898	0.0374	0.8467

Analyse des valeurs estimées du maximum de vraisemblance					
Paramètre	DDL	Estimation	Erreur type	Khi-2 de Wald	Pr > khi-2
num_dependents	1	0.1697	0.2881	0.3470	0.5558
target_mean_checking	1	3.8974	0.6744	33.3953	<.0001
target_mean_credit_h	1	3.3631	0.8990	13.9941	0.0002
target_mean_purpose	1	4.3678	1.2568	12.0779	0.0005
target_mean_savings	1	4.0325	1.3026	9.5835	0.0020
target_mean_employe	1	3.6374	1.6480	4.8714	0.0273
target_mean_personal	1	4.4323	2.3433	3.5778	0.0586
target_mean_other_pa	1	6.4707	2.6737	5.8571	0.0155
target_mean_property	1	2.6756	1.7575	2.3178	0.1279
target_mean_other_pa	1	2.5715	1.8343	1.9652	0.1610
target_mean_housing	1	2.4098	1.7960	1.8003	0.1797
target_mean_job	1	1.6589	5.5489	0.0894	0.7650
target_mean_telephon	1	13.3275	6.8030	3.8379	0.0501
target_mean_foreign_	1	8.2722	4.0551	4.1615	0.0414

Estimation du rapport de cotes			
Effet	Estimation du point	Intervalle de confiance de Wald à 95%	
age	0.981	0.962	1.001
duration	1.023	1.002	1.044
credit_amount	1.000	1.000	1.000
installment_rate	1.341	1.101	1.633
residence_since	1.023	0.843	1.242
existing_credits	1.037	0.715	1.505
num_dependents	1.185	0.674	2.084
target_mean_checking	49.274	13.139	184.794
target_mean_credit_h	28.879	4.958	168.203
target_mean_purpose	78.867	6.716	926.141
target_mean_savings	56.400	4.390	724.525
target_mean_employe	37.994	1.503	960.574
target_mean_personal	84.127	0.852	>999.999
target_mean_other_pa	645.940	3.423	>999.999
target_mean_property	14.522	0.463	454.971
target_mean_other_pa	13.085	0.359	476.618
target_mean_housing	11.131	0.329	376.100
target_mean_job	5.254	<0.001	>999.999
target_mean_telephon	>999.999	0.994	>999.999
target_mean_foreign_	>999.999	1.383	>999.999

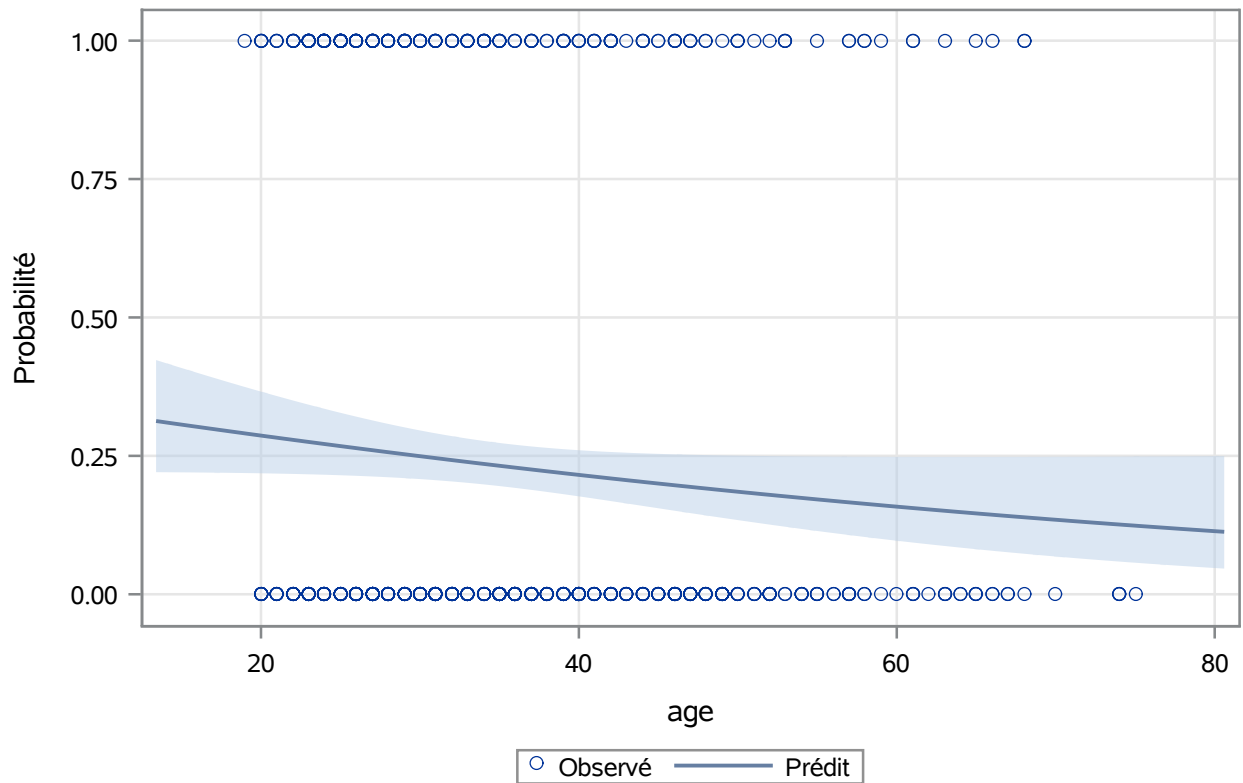
Association des probabilités prédites et des réponses observées			
Pourcentage concordant	82.4	D de Somers	0.648
Pourcentage discordant	17.6	Gamma	0.648
Pourcentage lié	0.0	Tau-a	0.273
Paires	102900	c	0.824



Diagnostics d'influence**Diagnostics d'influence**

Probabilités prédites pour class=1 avec Intervalle de confiance à 95%

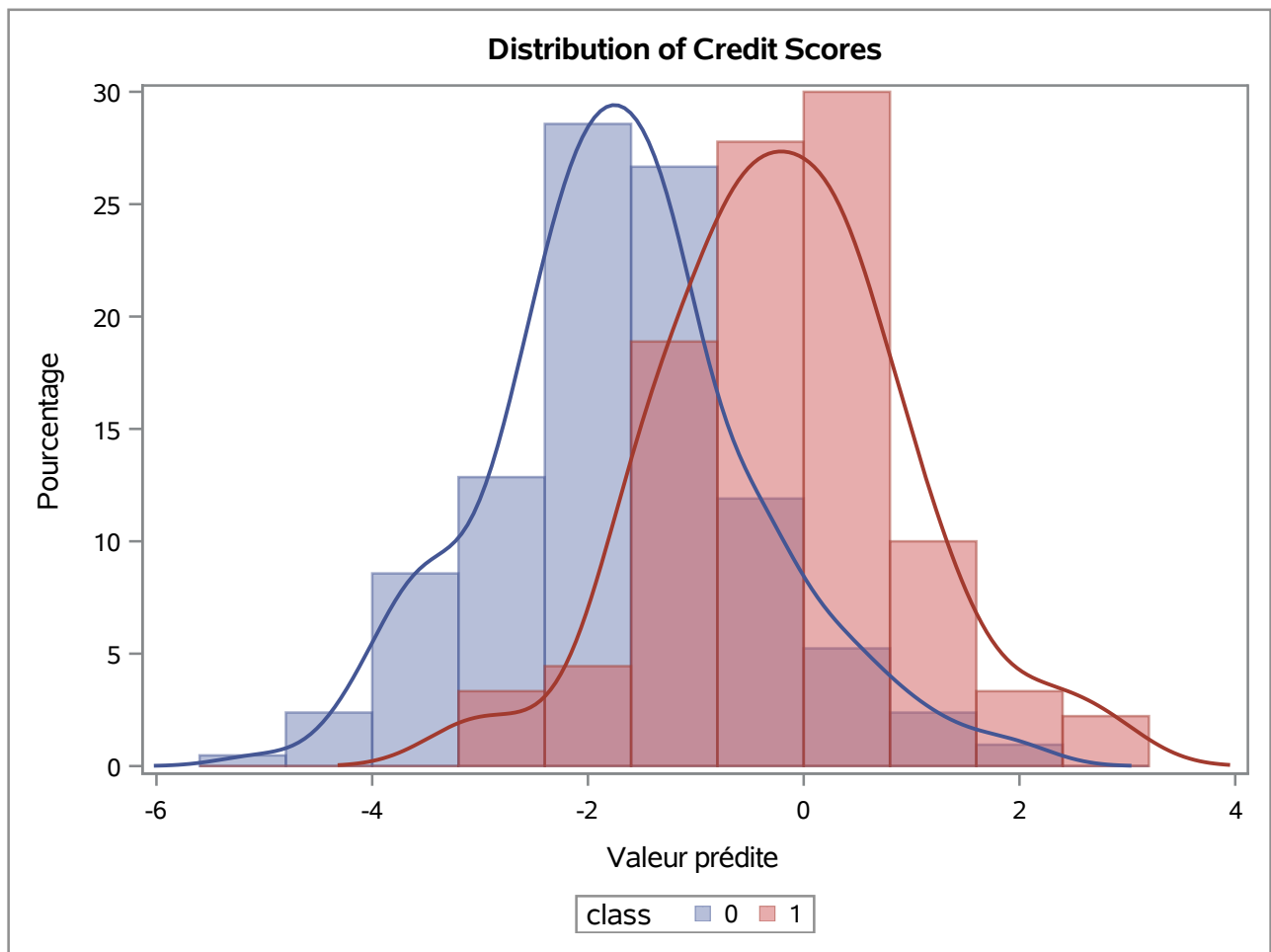
A duration=21.1 credit_amount=3382 installment_rate=2.941 residence_since=2.851 existing_credits=1.397
num_dependents=1.157 target_mean_checking_status=0.299 target_mean_credit_history=0.304
target_mean_purpose=0.301 target_mean_savings=0.3...



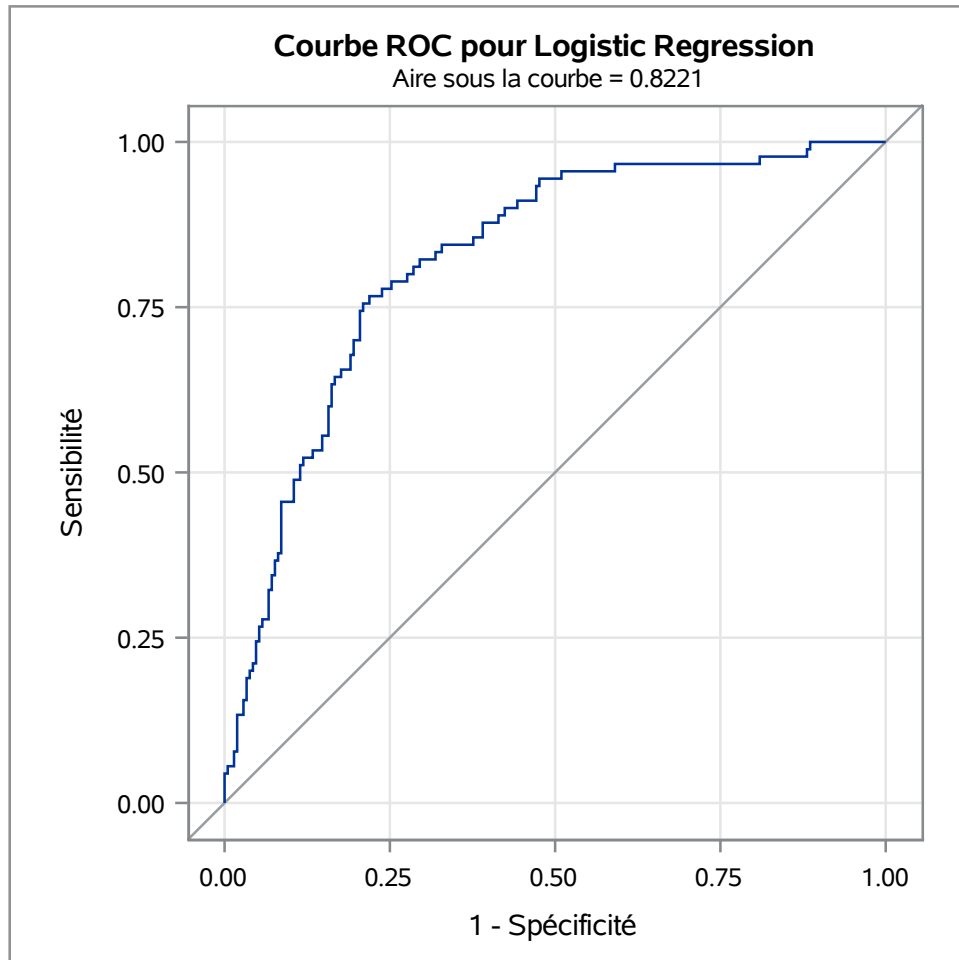
Informations sur le magasin d'éléments	
Magasin d'éléments	WORK.LOGITMODEL
Table créée à partir de	WORK.TRAIN
Créé par	PROC LOGISTIC
Date de création	30AUG23:15:19:25
Variable de réponse	class
Fonction de liaison	Logit
Distribution	Binaire
Variable CLASS	class
Effets du modèle	Intercept age duration credit_amount installment_rate residence_since existing_credits ...

Informations sur le magasin d'éléments	
Magasin d'éléments	WORK.LOGITMODEL
Table créée à partir de	WORK.TRAIN
Créé par	PROC LOGISTIC
Date de création	30AUG23:15:19:25
Variable de réponse	class
Fonction de liaison	Logit
Distribution	Binaire
Variable CLASS	class
Effets du modèle	Intercept age duration credit_amount installment_rate residence_since existing_credits ...

Obs.	Predicted
1	0.12973
2	0.07308
3	0.18768
4	0.18604
5	0.06334

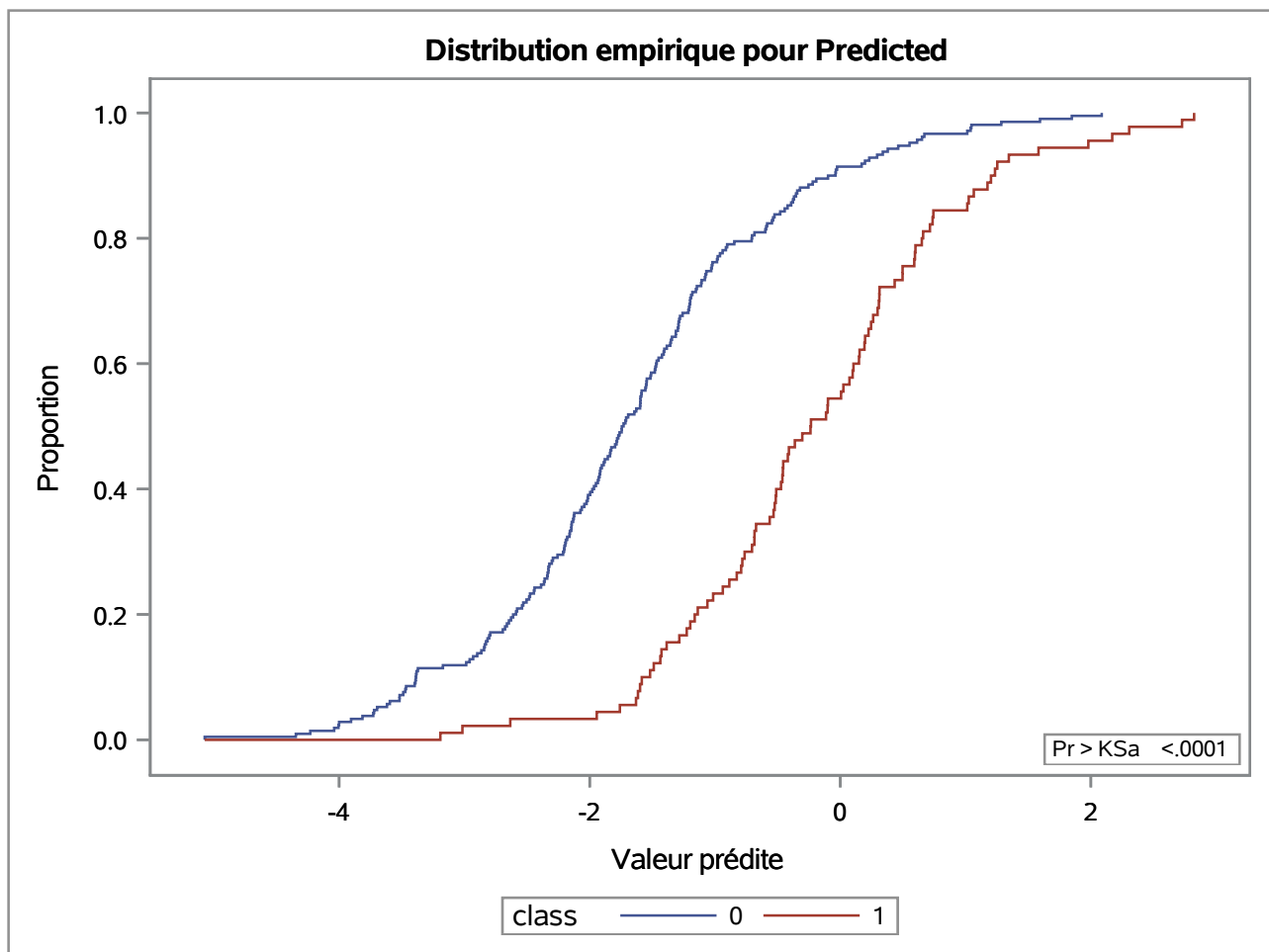


Modèle ROC : Logistic Regression



Test de Kolmogorov-Smirnov pour la variable SAS Predicted Classification par variable class			
class	N	EDF au maximum	Ecart de la moyenne au maximum
0	210	0.780952	2.380726
1	90	0.233333	-3.636619
Total	300	0.616667	
Ecart maximum en observation 127			
Valeur de Predicted au Maximum = -0.938927			

Test à deux échantillons de Kolmogorov-Smirnov (Asymptotique)			
KS	0.250951	D	0.547619
KSa	4.346591	Pr > KSa	<.0001



Test de Cramer-von Mises pour la variable SAS Predicted Classification par variable class		
class	N	Ecart total de la moyenne
0	210	2.460811
1	90	5.741893

Statistique de Cramer-von Mises (Asymptotique)			
CM	0.027342	CMa	8.202704

Test de Kuiper pour la variable SAS Predicted Classification par variable class		
class	N	Ecart de la moyenne
0	210	0.547619
1	90	0.000000

Test à deux échantillons de Kuiper (Asymptotique)					
K	0.547619	Ka	4.346591	Pr > Ka	<.0001

Taille d'échantillon totale	700	Total DDL	699
Variables	20	DDL dans les classes	698
Classes	2	DDL entre les classes	1

Nombre d'observations lues	700
Nombre d'observations utilisées	700

Information au niveau classe					
class	Nom de la variable	Fréquence	Poids	Proportion	Probabilité a priori
0	0	490	490.0000	0.700000	0.500000
1	1	210	210.0000	0.300000	0.500000

Informations sur la matrice de covariance combinée	
Rang de la matrice de covariance	Log. naturel du déterminant de la matrice de covariance
20	-55.32005

Distance au carré généralisée à class		
De class	0	1
0	0	1.73320
1	1.73320	0

Fonction discriminante linéaire pour class		
Variable	0	1
Constante	-623.59250	-643.30379
age	0.16712	0.15191
duration	0.24055	0.26663
credit_amount	-0.0001587	-0.0001004
installment_rate	2.28372	2.58144
residence_since	3.52894	3.54600
existing_credits	6.17512	6.27571
num_dependents	15.70771	15.87840
target_mean_checking_status	1.33663	5.43979
target_mean_credit_history	16.61217	20.62575
target_mean_purpose	46.02911	50.29624
target_mean_savings	26.01829	29.45940
target_mean_employment	41.13334	45.11687
target_mean_personal_status	143.05986	147.70333
target_mean_other_parties	221.46825	228.83347
target_mean_property_magnitude	-18.00692	-15.06500
target_mean_other_payment_plans	118.58710	120.47461
target_mean_housing	45.22899	47.77290
target_mean_job	1299	1301
target_mean_telephone	1808	1821
target_mean_foreign_worker	251.18562	256.39300

Synthèse de classification pour données de calibration : WORK.TRAIN
Synthèse de resubstitution utilisant Fonction discriminante linéaire

Nombre d'observations et pourcentage classifiés dans class			
De class	0	1	Total
0	369 75.31	121 24.69	490 100.00
1	48 22.86	162 77.14	210 100.00
Total	417 59.57	283 40.43	700 100.00
A priori	0.5	0.5	

Estimations du compte des erreurs pour class			
	0	1	Total
Taux	0.2469	0.2286	0.2378
A priori	0.5000	0.5000	

Synthèse de classification pour données de test : WORK.TEST
Synthèse de classification utilisant Fonction discriminante linéaire

Profil d'observation pour les données de test	
Nombre d'observations lues	300
Nombre d'observations utilisées	300

Nombre d'observations et pourcentage classifiés dans class			
De class	0	1	Total
0	167 79.52	43 20.48	210 100.00
1	26 28.89	64 71.11	90 100.00
Total	193 64.33	107 35.67	300 100.00
A priori	0.5	0.5	

Estimations du compte des erreurs pour class			
	0	1	Total
Taux	0.2048	0.2889	0.2468
A priori	0.5000	0.5000	

Obs.	class	duration	credit_amount	installment_rate	residence_since	age	existing_credits	num_dependents
1	0	6	2647	2	3	44	1	2
2	0	10	2241	1	3	48	2	2
3	0	6	426	4	4	39	1	1
4	0	18	1913	3	3	36	1	1
5	0	12	1264	4	4	57	1	1

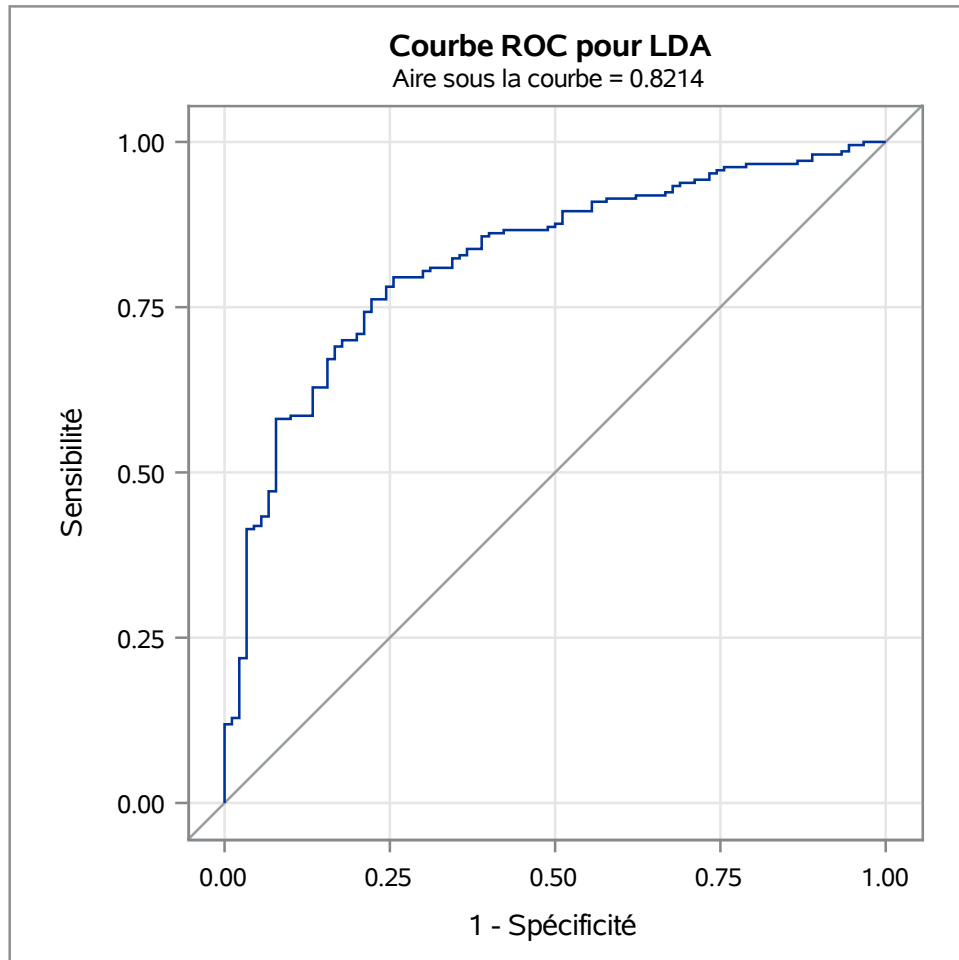
Obs.	target_mean_checking_status	target_mean_credit_history	target_mean_savings	target_mean_personal_status
1	0.4927007299	0.3188679245	0.1746031746	0.2664233577
2	0.4927007299	0.1706484642	0.35986733	0.2664233577
3	0.116751269	0.625	0.35986733	0.2717391304
4	0.3903345725	0.3188679245	0.125	0.2717391304
5	0.116751269	0.1706484642	0.174863388	0.2664233577

Obs.	target_mean_purpose	target_mean_employment	target_mean_other_parties	target_mean_property_magnitude
1	0.2214285714	0.3067846608	0.2998897464	0.2127659574
2	0.3803418803	0.4069767442	0.2998897464	0.2127659574
3	0.2214285714	0.2529644269	0.2998897464	0.3072289157
4	0.3505154639	0.4069767442	0.2998897464	0.2127659574
5	0.3505154639	0.2529644269	0.2998897464	0.4350649351

Obs.	target_mean_other_payment_plans	target_mean_foreign_worker	target_mean_housing	target_mean_telephone
1	0.2751842752	0.3073727934	0.3910614525	0.3137583893
2	0.2751842752	0.1081081081	0.3910614525	0.3137583893
3	0.2751842752	0.3073727934	0.2608695652	0.3137583893
4	0.4100719424	0.3073727934	0.2608695652	0.2797029703
5	0.2751842752	0.3073727934	0.3910614525	0.3137583893

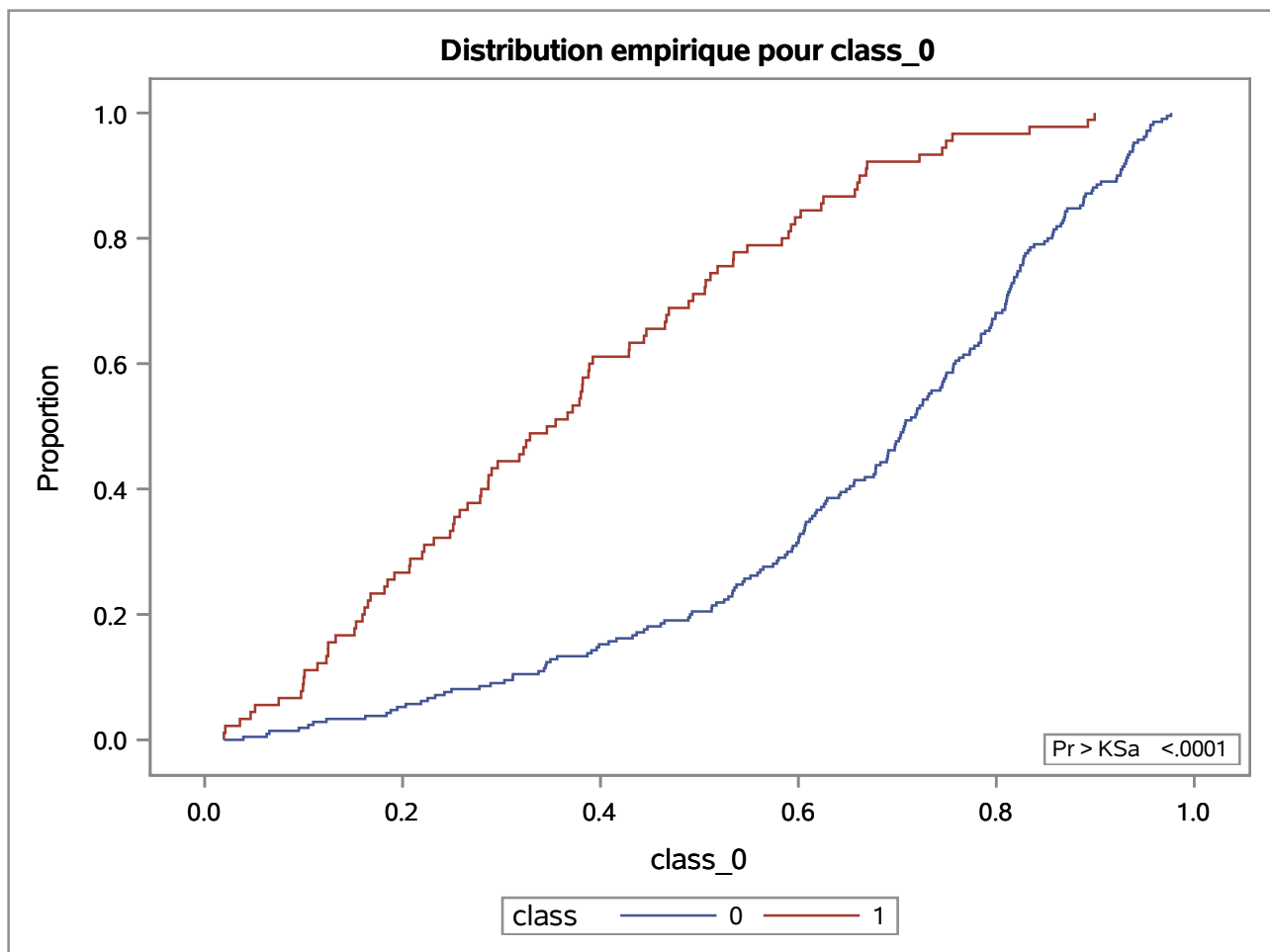
Obs.	target_mean_job	SelectionProb	SamplingWeight	0	1	_INTO_
1	0.2952380952	0.7	0	0.72575	0.27425	0
2	0.28	0.7	0	0.74887	0.25113	0
3	0.28	0.7	0	0.62912	0.37088	0
4	0.2952380952	0.7	0	0.64837	0.35163	0
5	0.28	0.7	0	0.86101	0.13899	0

Modèle ROC : LDA



Test de Kolmogorov-Smirnov pour la variable SAS class_0 Classification par variable class			
class	N	EDF au maximum	Ecart de la moyenne au maximum
0	210	0.204762	-2.346223
1	90	0.744444	3.583915
Total	300	0.366667	
Ecart maximum en observation 236			
Valeur de class_0 au Maximum = 0.511163			

Test à deux échantillons de Kolmogorov-Smirnov (Asymptotique)			
KS	0.247314	D	0.539683
KSa	4.283597	Pr > KSa	<.0001



Test de Cramer-von Mises pour la variable SAS class_0 Classification par variable class		
class	N	Ecart total de la moyenne
0	210	2.446395
1	90	5.708256

Statistique de Cramer-von Mises (Asymptotique)			
CM	0.027182	CMa	8.154651

Test de Kuiper pour la variable SAS class_0 Classification par variable class		
class	N	Ecart de la moyenne
0	210	0.000000
1	90	0.539683

Test à deux échantillons de Kuiper (Asymptotique)					
K	0.539683	Ka	4.283597	Pr > Ka	<.0001

Informations sur les performances	
Mode d'exécution	Machine unique
Nombre de threads	2

Informations sur l'accès aux données			
Données	Moteur	Rôle	Chemin
WORK.CLEANED_DATA	V9	Entrée	Sur le client
WORK.NET	V9	Sortie	Sur le client
WORK.PREDICTION	V9	Sortie	Sur le client
WORK.VARL	V9	Sortie	Sur le client
WORK.PARM	V9	Sortie	Sur le client
WORK.VS	V9	Sortie	Sur le client
WORK.VI	V9	Sortie	Sur le client
WORK.FITSTATS	V9	Sortie	Sur le client

Obs.	class	P_class1	P_class0
1	0	0.02732	0.97268
2	1	0.87564	0.12436
3	0	0.04607	0.95393
4	0	0.47509	0.52491
5	0	0.52749	0.47251
6	0	0.01157	0.98843
7	1	0.79740	0.20260
8	1	0.91812	0.08188
9	0	0.29368	0.70632
10	1	0.64639	0.35361
11	1	0.84285	0.15715
12	0	0.81959	0.18041
13	1	0.89490	0.10510
14	0	0.09740	0.90260
15	0	0.16492	0.83508
16	0	0.09940	0.90060
17	0	0.26072	0.73928
18	0	0.00426	0.99574
19	0	0.28765	0.71235
20	0	0.10154	0.89846
21	0	0.15193	0.84807
22	0	0.31470	0.68530
23	1	0.94119	0.05881
24	0	0.54022	0.45978
25	0	0.70955	0.29045
26	0	0.33584	0.66416
27	1	0.87519	0.12481
28	0	0.82938	0.17062
29	1	0.68033	0.31967
30	0	0.14824	0.85176
31	0	0.23438	0.76562
32	0	0.06185	0.93815
33	0	0.18610	0.81390
34	0	0.28458	0.71542
35	1	0.97893	0.02107
36	0	0.10021	0.89979
37	0	0.05330	0.94670
38	0	0.48612	0.51388
39	0	0.45897	0.54103
40	0	0.03831	0.96169

Obs.	class	P_class1	P_class0
41	0	0.07877	0.92123
42	1	0.98389	0.01611
43	1	0.65833	0.34167
44	0	0.20284	0.79716
45	0	0.43790	0.56210
46	1	0.95978	0.04022
47	0	0.49809	0.50191
48	1	0.98603	0.01397
49	0	0.15138	0.84862
50	1	0.95673	0.04327
51	0	0.09441	0.90559
52	0	0.29266	0.70734
53	0	0.67508	0.32492
54	0	0.13320	0.86680
55	1	0.92962	0.07038
56	0	0.44177	0.55823
57	0	0.12473	0.87527
58	0	0.24379	0.75621
59	0	0.61727	0.38273
60	0	0.38346	0.61654
61	0	0.42477	0.57523
62	0	0.14490	0.85510
63	0	0.04456	0.95544
64	1	0.98156	0.01844
65	0	0.65648	0.34352
66	1	0.81978	0.18022
67	0	0.02231	0.97769
68	0	0.08797	0.91203
69	1	0.10636	0.89364
70	1	0.99253	0.00747
71	0	0.03271	0.96729
72	0	0.18890	0.81110
73	0	0.56081	0.43919
74	0	0.01961	0.98039
75	0	0.28607	0.71393
76	0	0.08950	0.91050
77	1	0.93724	0.06276
78	0	0.21798	0.78202
79	0	0.28968	0.71032
80	0	0.41923	0.58077

Obs.	class	P_class1	P_class0
81	0	0.58176	0.41824
82	1	0.61870	0.38130
83	0	0.14196	0.85804
84	1	0.33468	0.66532
85	1	0.75405	0.24595
86	0	0.14727	0.85273
87	1	0.72331	0.27669
88	0	0.25129	0.74871
89	0	0.39383	0.60617
90	0	0.18409	0.81591
91	0	0.21664	0.78336
92	1	0.61945	0.38055
93	1	0.97496	0.02504
94	0	0.28580	0.71420
95	0	0.65425	0.34575
96	0	0.02046	0.97954
97	0	0.06143	0.93857
98	1	0.37414	0.62586
99	0	0.06627	0.93373
100	0	0.21048	0.78952
101	0	0.04459	0.95541
102	0	0.77866	0.22134
103	0	0.56753	0.43247
104	1	0.88520	0.11480
105	0	0.17132	0.82868
106	0	0.38604	0.61396
107	0	0.55171	0.44829
108	0	0.22673	0.77327
109	0	0.01209	0.98791
110	0	0.30837	0.69163
111	0	0.56523	0.43477
112	1	0.89564	0.10436
113	0	0.08674	0.91326
114	0	0.62069	0.37931
115	0	0.00724	0.99276
116	0	0.03790	0.96210
117	0	0.27134	0.72866
118	0	0.02854	0.97146
119	0	0.83445	0.16555
120	0	0.22085	0.77915

Obs.	class	P_class1	P_class0
121	0	0.02846	0.97154
122	1	0.91428	0.08572
123	0	0.19239	0.80761
124	1	0.58834	0.41166
125	1	0.95323	0.04677
126	0	0.07761	0.92239
127	1	0.85603	0.14397
128	0	0.06417	0.93583
129	1	0.94940	0.05060
130	1	0.48395	0.51605
131	0	0.45553	0.54447
132	0	0.07189	0.92811
133	0	0.07882	0.92118
134	0	0.41129	0.58871
135	1	0.71301	0.28699
136	1	0.92235	0.07765
137	1	0.93046	0.06954
138	0	0.02393	0.97607
139	1	0.87967	0.12033
140	0	0.04060	0.95940
141	1	0.96750	0.03250
142	0	0.82032	0.17968
143	1	0.58667	0.41333
144	0	0.87656	0.12344
145	1	0.26313	0.73687
146	1	0.88450	0.11550
147	0	0.03355	0.96645
148	1	0.94021	0.05979
149	1	0.71093	0.28907
150	0	0.01599	0.98401
151	0	0.63482	0.36518
152	0	0.06084	0.93916
153	0	0.45220	0.54780
154	0	0.17620	0.82380
155	0	0.52964	0.47036
156	0	0.00474	0.99526
157	0	0.05712	0.94288
158	1	0.98768	0.01232
159	0	0.04370	0.95630
160	0	0.01734	0.98266

Obs.	class	P_class1	P_class0
161	0	0.22566	0.77434
162	0	0.43949	0.56051
163	0	0.69321	0.30679
164	0	0.08502	0.91498
165	0	0.04237	0.95763
166	0	0.07428	0.92572
167	0	0.54926	0.45074
168	1	0.88779	0.11221
169	1	0.91407	0.08593
170	0	0.93443	0.06557
171	1	0.64073	0.35927
172	0	0.08738	0.91262
173	0	0.38506	0.61494
174	0	0.01344	0.98656
175	1	0.62451	0.37549
176	1	0.94300	0.05700
177	0	0.03937	0.96063
178	0	0.40599	0.59401
179	1	0.85828	0.14172
180	0	0.03140	0.96860
181	1	0.99073	0.00927
182	0	0.04456	0.95544
183	0	0.06140	0.93860
184	0	0.01499	0.98501
185	0	0.21379	0.78621
186	1	0.62995	0.37005
187	0	0.05375	0.94625
188	0	0.20124	0.79876
189	1	0.94962	0.05038
190	0	0.17869	0.82131
191	0	0.24537	0.75463
192	0	0.04066	0.95934
193	1	0.95509	0.04491
194	0	0.01375	0.98625
195	0	0.35352	0.64648
196	0	0.43185	0.56815
197	0	0.82013	0.17987
198	1	0.43291	0.56709
199	0	0.32519	0.67481
200	1	0.67418	0.32582

Obs.	class	P_class1	P_class0
201	0	0.05080	0.94920
202	0	0.03612	0.96388
203	0	0.97711	0.02289
204	1	0.81560	0.18440
205	0	0.05541	0.94459
206	0	0.15082	0.84918
207	1	0.35031	0.64969
208	0	0.19037	0.80963
209	0	0.03790	0.96210
210	0	0.07761	0.92239
211	0	0.02707	0.97293
212	0	0.69278	0.30722
213	0	0.68196	0.31804
214	0	0.95052	0.04948
215	0	0.21370	0.78630
216	1	0.88375	0.11625
217	0	0.02412	0.97588
218	1	0.92765	0.07235
219	0	0.16759	0.83241
220	1	0.96569	0.03431
221	0	0.08950	0.91050
222	0	0.01200	0.98800
223	0	0.12575	0.87425
224	1	0.92439	0.07561
225	1	0.89698	0.10302
226	0	0.11386	0.88614
227	1	0.76210	0.23790
228	1	0.45887	0.54113
229	0	0.56075	0.43925
230	0	0.94174	0.05826
231	0	0.33489	0.66511
232	1	0.81973	0.18027
233	0	0.03902	0.96098
234	1	0.97758	0.02242
235	0	0.46611	0.53389
236	0	0.07272	0.92728
237	0	0.42660	0.57340
238	1	0.79740	0.20260
239	1	0.85229	0.14771
240	0	0.40832	0.59168

Obs.	class	P_class1	P_class0
241	0	0.12608	0.87392
242	0	0.06059	0.93941
243	0	0.04404	0.95596
244	0	0.06730	0.93270
245	0	0.28386	0.71614
246	0	0.18662	0.81338
247	1	0.42556	0.57444
248	1	0.95272	0.04728
249	1	0.75994	0.24006
250	0	0.44140	0.55860
251	0	0.27452	0.72548
252	0	0.85423	0.14577
253	0	0.64345	0.35655
254	0	0.03897	0.96103
255	0	0.62036	0.37964
256	0	0.03660	0.96340
257	0	0.24318	0.75682
258	1	0.44166	0.55834
259	0	0.09277	0.90723
260	1	0.90475	0.09525
261	0	0.31963	0.68037
262	1	0.94131	0.05869
263	1	0.62565	0.37435
264	0	0.82441	0.17559
265	0	0.05966	0.94034
266	0	0.44443	0.55557
267	0	0.12476	0.87524
268	1	0.91428	0.08572
269	0	0.08333	0.91667
270	0	0.05253	0.94747
271	1	0.89482	0.10518
272	0	0.14252	0.85748
273	0	0.07446	0.92554
274	0	0.06066	0.93934
275	0	0.41185	0.58815
276	1	0.98687	0.01313
277	0	0.13349	0.86651
278	1	0.97359	0.02641
279	0	0.05852	0.94148
280	0	0.13983	0.86017

Obs.	class	P_class1	P_class0
281	1	0.94868	0.05132
282	0	0.10093	0.89907
283	0	0.27395	0.72605
284	0	0.31842	0.68158
285	0	0.30293	0.69707
286	0	0.16510	0.83490
287	0	0.80056	0.19944
288	0	0.73392	0.26608
289	0	0.55171	0.44829
290	0	0.16246	0.83754
291	1	0.71911	0.28089
292	0	0.37872	0.62128
293	0	0.46881	0.53119
294	1	0.82249	0.17751
295	0	0.01786	0.98214
296	0	0.12865	0.87135
297	0	0.06043	0.93957
298	1	0.14481	0.85519
299	0	0.37903	0.62097
300	0	0.07520	0.92480
301	0	0.72187	0.27813
302	0	0.07162	0.92838
303	0	0.11011	0.88989
304	0	0.17032	0.82968
305	0	0.61504	0.38496
306	0	0.03784	0.96216
307	0	0.02074	0.97926
308	0	0.11419	0.88581
309	0	0.09124	0.90876
310	1	0.87929	0.12071
311	0	0.55869	0.44131
312	0	0.08106	0.91894
313	0	0.38118	0.61882
314	1	0.33223	0.66777
315	0	0.38298	0.61702
316	0	0.14730	0.85270
317	0	0.46611	0.53389
318	0	0.40896	0.59104
319	0	0.08774	0.91226
320	1	0.95894	0.04106

Obs.	class	P_class1	P_class0
321	1	0.73739	0.26261
322	0	0.03131	0.96869
323	0	0.23488	0.76512
324	0	0.10239	0.89761
325	0	0.27519	0.72481
326	1	0.86525	0.13475
327	0	0.40229	0.59771
328	0	0.71399	0.28601
329	0	0.54830	0.45170
330	0	0.10909	0.89091
331	0	0.32185	0.67815
332	0	0.73144	0.26856
333	1	0.89771	0.10229
334	0	0.06962	0.93038
335	1	0.88810	0.11190
336	1	0.86660	0.13340
337	1	0.85053	0.14947
338	1	0.65388	0.34612
339	1	0.98281	0.01719
340	0	0.06734	0.93266
341	0	0.22397	0.77603
342	0	0.11815	0.88185
343	0	0.73858	0.26142
344	0	0.40333	0.59667
345	0	0.02814	0.97186
346	1	0.77136	0.22864
347	0	0.07379	0.92621
348	0	0.50491	0.49509
349	0	0.03233	0.96767
350	0	0.06006	0.93994
351	1	0.98427	0.01573
352	0	0.05050	0.94950
353	0	0.09875	0.90125
354	0	0.15384	0.84616
355	1	0.71663	0.28337
356	0	0.06427	0.93573
357	0	0.35761	0.64239
358	1	0.93366	0.06634
359	0	0.82111	0.17889
360	0	0.09641	0.90359

Obs.	class	P_class1	P_class0
361	1	0.91811	0.08189
362	1	0.96010	0.03990
363	1	0.17291	0.82709
364	0	0.04083	0.95917
365	0	0.44271	0.55729
366	0	0.24686	0.75314
367	0	0.30136	0.69864
368	0	0.19855	0.80145
369	0	0.06208	0.93792
370	0	0.09642	0.90358
371	1	0.67676	0.32324
372	0	0.43191	0.56809
373	0	0.30017	0.69983
374	0	0.07772	0.92228
375	0	0.11268	0.88732
376	1	0.91012	0.08988
377	0	0.45307	0.54693
378	0	0.69107	0.30893
379	1	0.88218	0.11782
380	0	0.08270	0.91730
381	0	0.08870	0.91130
382	0	0.25661	0.74339
383	0	0.41451	0.58549
384	1	0.99464	0.00536
385	0	0.68935	0.31065
386	1	0.75031	0.24969
387	0	0.48632	0.51368
388	1	0.66906	0.33094
389	1	0.60281	0.39719
390	1	0.93186	0.06814
391	0	0.13658	0.86342
392	0	0.12851	0.87149
393	0	0.20320	0.79680
394	0	0.01512	0.98488
395	0	0.11448	0.88552
396	1	0.84634	0.15366
397	0	0.64778	0.35222
398	1	0.97597	0.02403
399	1	0.76680	0.23320
400	1	0.76336	0.23664

Obs.	class	P_class1	P_class0
401	1	0.90396	0.09604
402	1	0.94995	0.05005
403	0	0.59897	0.40103
404	0	0.01357	0.98643
405	1	0.93063	0.06937
406	1	0.90896	0.09104
407	0	0.02287	0.97713
408	0	0.12657	0.87343
409	0	0.50335	0.49665
410	0	0.45438	0.54562
411	0	0.14582	0.85418
412	0	0.12856	0.87144
413	1	0.82693	0.17307
414	0	0.13944	0.86056
415	1	0.96159	0.03841
416	0	0.22037	0.77963
417	0	0.46611	0.53389
418	1	0.86075	0.13925
419	1	0.60483	0.39517
420	0	0.09486	0.90514
421	0	0.09399	0.90601
422	1	0.92279	0.07721
423	1	0.93084	0.06916
424	1	0.96656	0.03344
425	1	0.50804	0.49196
426	0	0.44232	0.55768
427	1	0.75955	0.24045
428	1	0.98955	0.01045
429	1	0.68833	0.31167
430	0	0.19316	0.80684
431	0	0.76366	0.23634
432	1	0.94674	0.05326
433	0	0.16246	0.83754
434	1	0.86099	0.13901
435	1	0.58738	0.41262
436	0	0.50805	0.49195
437	0	0.91128	0.08872
438	0	0.64010	0.35990
439	0	0.30160	0.69840
440	0	0.11269	0.88731

Obs.	class	P_class1	P_class0
441	1	0.66683	0.33317
442	0	0.69813	0.30187
443	0	0.03238	0.96762
444	0	0.09273	0.90727
445	1	0.94038	0.05962
446	0	0.01268	0.98732
447	0	0.46092	0.53908
448	1	0.95183	0.04817
449	0	0.24897	0.75103
450	1	0.61587	0.38413
451	1	0.91547	0.08453
452	0	0.20845	0.79155
453	0	0.04347	0.95653
454	0	0.11569	0.88431
455	0	0.11411	0.88589
456	1	0.92817	0.07183
457	1	0.51811	0.48189
458	0	0.03914	0.96086
459	0	0.27825	0.72175
460	0	0.66670	0.33330
461	1	0.90964	0.09036
462	1	0.91384	0.08616
463	1	0.73714	0.26286
464	1	0.82898	0.17102
465	1	0.90916	0.09084
466	0	0.03822	0.96178
467	0	0.91344	0.08656
468	0	0.73425	0.26575
469	0	0.14839	0.85161
470	1	0.69806	0.30194
471	0	0.08784	0.91216
472	0	0.55869	0.44131
473	0	0.12977	0.87023
474	0	0.69012	0.30988
475	0	0.21369	0.78631
476	0	0.03166	0.96834
477	1	0.51833	0.48167
478	1	0.92158	0.07842
479	0	0.75196	0.24804
480	0	0.16246	0.83754

Obs.	class	P_class1	P_class0
481	0	0.30470	0.69530
482	0	0.11532	0.88468
483	0	0.08178	0.91822
484	0	0.27266	0.72734
485	0	0.57878	0.42122
486	0	0.47239	0.52761
487	0	0.89945	0.10055
488	0	0.07699	0.92301
489	0	0.32056	0.67944
490	0	0.53715	0.46285
491	0	0.07633	0.92367
492	0	0.04271	0.95729
493	0	0.12147	0.87853
494	0	0.08298	0.91702
495	1	0.32619	0.67381
496	1	0.95350	0.04650
497	0	0.46108	0.53892
498	0	0.76358	0.23642
499	0	0.25964	0.74036
500	1	0.94739	0.05261
501	1	0.95222	0.04778
502	0	0.21394	0.78606
503	0	0.23438	0.76562
504	0	0.07611	0.92389
505	1	0.97234	0.02766
506	0	0.15821	0.84179
507	0	0.02170	0.97830
508	0	0.05490	0.94510
509	0	0.53890	0.46110
510	1	0.96085	0.03915
511	1	0.68764	0.31236
512	0	0.02423	0.97577
513	0	0.02274	0.97726
514	1	0.93573	0.06427
515	1	0.99364	0.00636
516	0	0.14151	0.85849
517	0	0.07282	0.92718
518	0	0.03216	0.96784
519	0	0.94237	0.05763
520	1	0.82079	0.17921

Obs.	class	P_class1	P_class0
521	0	0.06398	0.93602
522	0	0.87530	0.12470
523	0	0.49901	0.50099
524	0	0.76366	0.23634
525	0	0.17291	0.82709
526	0	0.75513	0.24487
527	0	0.06426	0.93574
528	0	0.46227	0.53773
529	1	0.90393	0.09607
530	0	0.35664	0.64336
531	0	0.03391	0.96609
532	1	0.41192	0.58808
533	1	0.88240	0.11760
534	1	0.34188	0.65812
535	0	0.12266	0.87734
536	1	0.69792	0.30208
537	1	0.51838	0.48162
538	0	0.03492	0.96508
539	0	0.02231	0.97769
540	0	0.27493	0.72507
541	1	0.94119	0.05881
542	0	0.06171	0.93829
543	0	0.10091	0.89909
544	1	0.81011	0.18989
545	0	0.14680	0.85320
546	0	0.03369	0.96631
547	0	0.73386	0.26614
548	1	0.36258	0.63742
549	0	0.39400	0.60600
550	0	0.04203	0.95797
551	0	0.09170	0.90830
552	1	0.98961	0.01039
553	1	0.98540	0.01460
554	0	0.04962	0.95038
555	0	0.01846	0.98154
556	0	0.56940	0.43060
557	0	0.24537	0.75463
558	1	0.79426	0.20574
559	0	0.10876	0.89124
560	0	0.07475	0.92525

Obs.	class	P_class1	P_class0
561	0	0.38172	0.61828
562	0	0.45573	0.54427
563	0	0.03097	0.96903
564	0	0.41773	0.58227
565	1	0.90073	0.09927
566	0	0.01034	0.98966
567	0	0.89673	0.10327
568	1	0.95111	0.04889
569	0	0.43525	0.56475
570	0	0.15902	0.84098
571	1	0.64143	0.35857
572	1	0.96375	0.03625
573	1	0.98657	0.01343
574	0	0.82767	0.17233
575	0	0.03402	0.96598
576	0	0.02551	0.97449
577	0	0.75271	0.24729
578	1	0.84770	0.15230
579	0	0.11269	0.88731
580	0	0.13489	0.86511
581	1	0.94062	0.05938
582	0	0.25888	0.74112
583	0	0.19120	0.80880
584	0	0.51664	0.48336
585	1	0.91050	0.08950
586	1	0.89365	0.10635
587	0	0.88139	0.11861
588	0	0.10873	0.89127
589	1	0.97970	0.02030
590	0	0.21835	0.78165
591	1	0.40496	0.59504
592	1	0.92055	0.07945
593	0	0.27610	0.72390
594	0	0.03632	0.96368
595	1	0.86250	0.13750
596	0	0.17102	0.82898
597	1	0.61752	0.38248
598	0	0.43482	0.56518
599	0	0.27165	0.72835
600	0	0.25321	0.74679

Obs.	class	P_class1	P_class0
601	0	0.19321	0.80679
602	1	0.57689	0.42311
603	0	0.01249	0.98751
604	0	0.12663	0.87337
605	1	0.98686	0.01314
606	0	0.31439	0.68561
607	0	0.19115	0.80885
608	1	0.73130	0.26870
609	0	0.06264	0.93736
610	1	0.55321	0.44679
611	1	0.78327	0.21673
612	0	0.11108	0.88892
613	0	0.11769	0.88231
614	0	0.14944	0.85056
615	0	0.57026	0.42974
616	0	0.10557	0.89443
617	0	0.17974	0.82026
618	0	0.46611	0.53389
619	0	0.09158	0.90842
620	0	0.97248	0.02752
621	0	0.16841	0.83159
622	0	0.01649	0.98351
623	0	0.07459	0.92541
624	0	0.11124	0.88876
625	1	0.73598	0.26402
626	0	0.24443	0.75557
627	1	0.95138	0.04862
628	0	0.19583	0.80417
629	0	0.27057	0.72943
630	0	0.70304	0.29696
631	0	0.03480	0.96520
632	0	0.23251	0.76749
633	0	0.36375	0.63625
634	0	0.02800	0.97200
635	0	0.74254	0.25746
636	0	0.00388	0.99612
637	0	0.07080	0.92920
638	1	0.88520	0.11480
639	1	0.95971	0.04029
640	0	0.13744	0.86256

Obs.	class	P_class1	P_class0
641	0	0.04037	0.95963
642	0	0.07101	0.92899
643	0	0.10694	0.89306
644	0	0.11164	0.88836
645	0	0.12144	0.87856
646	1	0.86323	0.13677
647	0	0.19401	0.80599
648	0	0.01667	0.98333
649	1	0.96954	0.03046
650	0	0.02904	0.97096
651	1	0.90103	0.09897
652	1	0.89292	0.10708
653	0	0.14197	0.85803
654	1	0.97950	0.02050
655	0	0.73271	0.26729
656	1	0.98520	0.01480
657	0	0.43385	0.56615
658	0	0.37851	0.62149
659	1	0.75180	0.24820
660	0	0.06588	0.93412
661	0	0.48024	0.51976
662	0	0.41636	0.58364
663	1	0.98045	0.01955
664	0	0.02932	0.97068
665	0	0.13046	0.86954
666	0	0.03604	0.96396
667	0	0.93755	0.06245
668	1	0.98696	0.01304
669	0	0.18375	0.81625
670	1	0.32844	0.67156
671	1	0.80284	0.19716
672	1	0.67067	0.32933
673	0	0.56857	0.43143
674	0	0.19312	0.80688
675	0	0.09520	0.90480
676	0	0.08210	0.91790
677	0	0.78662	0.21338
678	0	0.02365	0.97635
679	0	0.14387	0.85613
680	1	0.31462	0.68538

Obs.	class	P_class1	P_class0
681	1	0.54389	0.45611
682	0	0.18242	0.81758
683	0	0.37907	0.62093
684	1	0.96719	0.03281
685	0	0.14434	0.85566
686	1	0.51438	0.48562
687	1	0.95734	0.04266
688	1	0.55271	0.44729
689	1	0.94056	0.05944
690	1	0.85771	0.14229
691	0	0.04379	0.95621
692	0	0.43176	0.56824
693	0	0.50929	0.49071
694	0	0.05352	0.94648
695	0	0.80484	0.19516
696	0	0.17310	0.82690
697	0	0.28153	0.71847
698	0	0.36963	0.63037
699	0	0.87351	0.12649
700	0	0.07327	0.92673
701	0	0.05020	0.94980
702	0	0.42853	0.57147
703	0	0.06614	0.93386
704	0	0.59441	0.40559
705	1	0.77582	0.22418
706	0	0.05143	0.94857
707	0	0.49783	0.50217
708	1	0.89782	0.10218
709	0	0.52714	0.47286
710	0	0.01358	0.98642
711	0	0.03115	0.96885
712	0	0.61015	0.38985
713	0	0.26650	0.73350
714	0	0.37687	0.62313
715	0	0.05496	0.94504
716	0	0.17539	0.82461
717	0	0.02650	0.97350
718	0	0.10505	0.89495
719	0	0.02737	0.97263
720	1	0.86280	0.13720

Obs.	class	P_class1	P_class0
721	0	0.09988	0.90012
722	0	0.18689	0.81311
723	0	0.10607	0.89393
724	0	0.02352	0.97648
725	1	0.26124	0.73876
726	1	0.04641	0.95359
727	0	0.04538	0.95462
728	0	0.83740	0.16260
729	0	0.11548	0.88452
730	0	0.09542	0.90458
731	0	0.47637	0.52363
732	0	0.14552	0.85448
733	0	0.14283	0.85717
734	1	0.20099	0.79901
735	0	0.24158	0.75842
736	0	0.45060	0.54940
737	0	0.03272	0.96728
738	0	0.02448	0.97552
739	0	0.04587	0.95413
740	0	0.06710	0.93290
741	1	0.56140	0.43860
742	1	0.30197	0.69803
743	0	0.48565	0.51435
744	0	0.04594	0.95406
745	0	0.82187	0.17813
746	0	0.03050	0.96950
747	0	0.01420	0.98580
748	0	0.14119	0.85881
749	0	0.49528	0.50472
750	0	0.06680	0.93320
751	1	0.93657	0.06343
752	1	0.63402	0.36598
753	1	0.53897	0.46103
754	1	0.16753	0.83247
755	0	0.02708	0.97292
756	0	0.12854	0.87146
757	0	0.11750	0.88250
758	0	0.63763	0.36237
759	0	0.00657	0.99343
760	1	0.09805	0.90195

Obs.	class	P_class1	P_class0
761	0	0.76517	0.23483
762	0	0.43564	0.56436
763	0	0.09865	0.90135
764	1	0.05336	0.94664
765	0	0.16057	0.83943
766	1	0.57261	0.42739
767	0	0.02773	0.97227
768	0	0.19125	0.80875
769	0	0.09717	0.90283
770	0	0.06351	0.93649
771	0	0.25015	0.74985
772	0	0.00813	0.99187
773	0	0.02641	0.97359
774	0	0.01725	0.98275
775	1	0.69401	0.30599
776	0	0.04329	0.95671
777	0	0.20927	0.79073
778	0	0.41098	0.58902
779	0	0.39518	0.60482
780	0	0.14366	0.85634
781	0	0.08836	0.91164
782	0	0.05170	0.94830
783	1	0.09405	0.90595
784	0	0.10308	0.89692
785	0	0.00926	0.99074
786	0	0.25167	0.74833
787	0	0.20942	0.79058
788	0	0.48360	0.51640
789	0	0.50411	0.49589
790	1	0.89811	0.10189
791	1	0.12514	0.87486
792	1	0.45327	0.54673
793	0	0.41888	0.58112
794	0	0.46454	0.53546
795	0	0.32246	0.67754
796	0	0.15304	0.84696
797	0	0.10874	0.89126
798	1	0.28237	0.71763
799	0	0.00520	0.99480
800	1	0.09562	0.90438

Obs.	class	P_class1	P_class0
801	0	0.02538	0.97462
802	0	0.72710	0.27290
803	0	0.35205	0.64795
804	1	0.93679	0.06321
805	0	0.08331	0.91669
806	0	0.16733	0.83267
807	0	0.09443	0.90557
808	0	0.04329	0.95671
809	0	0.13178	0.86822
810	0	0.55513	0.44487
811	0	0.09289	0.90711
812	0	0.87859	0.12141
813	0	0.04740	0.95260
814	1	0.33501	0.66499
815	0	0.00753	0.99247
816	0	0.18632	0.81368
817	1	0.10056	0.89944
818	0	0.04690	0.95310
819	1	0.33242	0.66758
820	0	0.04835	0.95165
821	1	0.40023	0.59977
822	0	0.10366	0.89634
823	1	0.35814	0.64186
824	0	0.04719	0.95281
825	1	0.20287	0.79713
826	1	0.75162	0.24838
827	0	0.01947	0.98053
828	0	0.03186	0.96814
829	1	0.46227	0.53773
830	1	0.15915	0.84085
831	1	0.51752	0.48248
832	0	0.18673	0.81327
833	0	0.03241	0.96759
834	0	0.02445	0.97555
835	1	0.40600	0.59400
836	0	0.16383	0.83617
837	0	0.12921	0.87079
838	0	0.40795	0.59205
839	0	0.14813	0.85187
840	0	0.18501	0.81499

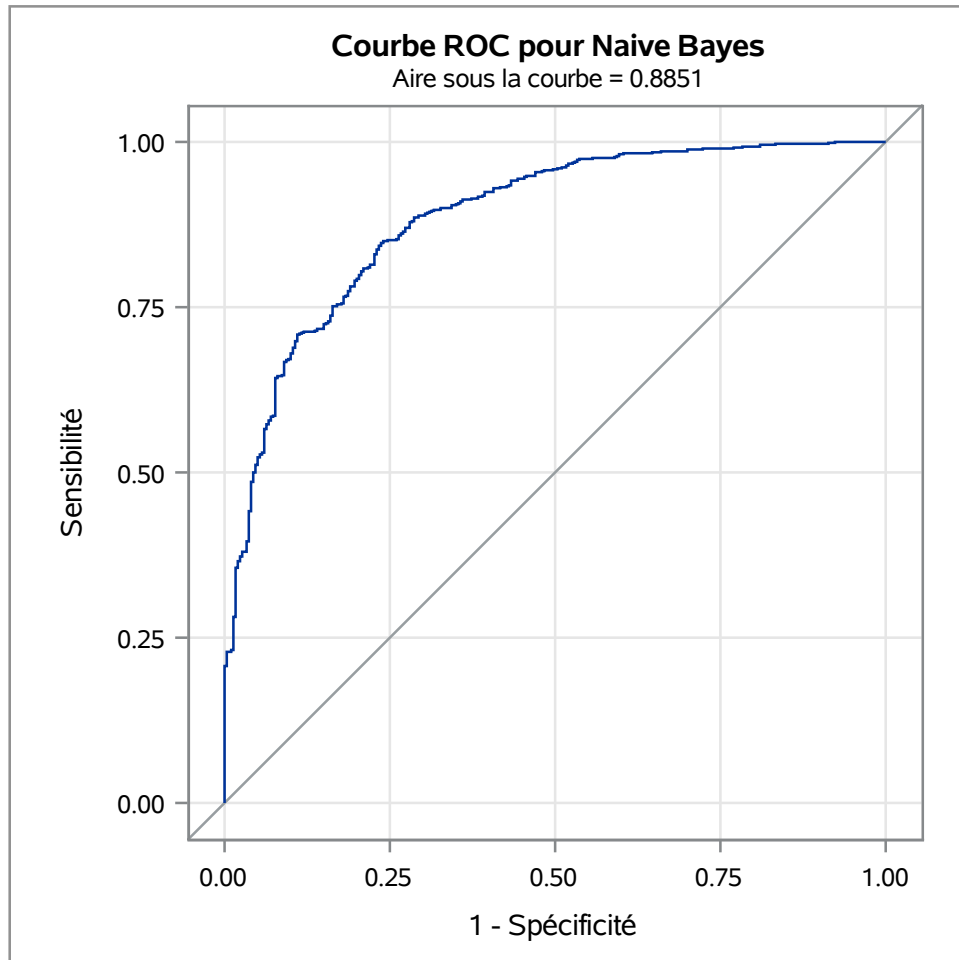
Obs.	class	P_class1	P_class0
841	0	0.01120	0.98880
842	0	0.13950	0.86050
843	0	0.27464	0.72536
844	0	0.01692	0.98308
845	0	0.09714	0.90286
846	1	0.83553	0.16447
847	0	0.05131	0.94869
848	1	0.69411	0.30589
849	0	0.12070	0.87930
850	0	0.05751	0.94249
851	1	0.20589	0.79411
852	0	0.01742	0.98258
853	1	0.28052	0.71948
854	1	0.96139	0.03861
855	0	0.23844	0.76156
856	0	0.35123	0.64877
857	0	0.00677	0.99323
858	0	0.03874	0.96126
859	1	0.38060	0.61940
860	0	0.02708	0.97292
861	1	0.46445	0.53555
862	0	0.29704	0.70296
863	1	0.43233	0.56767
864	1	0.68981	0.31019
865	0	0.51978	0.48022
866	0	0.11913	0.88087
867	0	0.33037	0.66963
868	1	0.28401	0.71599
869	0	0.27908	0.72092
870	0	0.03543	0.96457
871	0	0.04256	0.95744
872	1	0.53611	0.46389
873	0	0.32038	0.67962
874	1	0.93894	0.06106
875	0	0.28154	0.71846
876	0	0.37819	0.62181
877	1	0.89959	0.10041
878	1	0.51169	0.48831
879	0	0.27072	0.72928
880	0	0.03707	0.96293

Obs.	class	P_class1	P_class0
881	0	0.09432	0.90568
882	0	0.48842	0.51158
883	1	0.05350	0.94650
884	1	0.46073	0.53927
885	0	0.19072	0.80928
886	1	0.17047	0.82953
887	1	0.68078	0.31922
888	0	0.06671	0.93329
889	1	0.19192	0.80808
890	0	0.28424	0.71576
891	1	0.19549	0.80451
892	1	0.10032	0.89968
893	0	0.91856	0.08144
894	1	0.44582	0.55418
895	0	0.14388	0.85612
896	0	0.38303	0.61697
897	0	0.17879	0.82121
898	0	0.66594	0.33406
899	1	0.33055	0.66945
900	0	0.09212	0.90788
901	0	0.06038	0.93962
902	0	0.20244	0.79756
903	0	0.02913	0.97087
904	0	0.04451	0.95549
905	0	0.00645	0.99355
906	0	0.18181	0.81819
907	0	0.70947	0.29053
908	0	0.08546	0.91454
909	0	0.04518	0.95482
910	0	0.26820	0.73180
911	0	0.52296	0.47704
912	0	0.01956	0.98044
913	1	0.62145	0.37855
914	0	0.02223	0.97777
915	0	0.24706	0.75294
916	1	0.26740	0.73260
917	1	0.29215	0.70785
918	0	0.07764	0.92236
919	0	0.05119	0.94881
920	0	0.34004	0.65996

Obs.	class	P_class1	P_class0
921	1	0.32329	0.67671
922	0	0.60335	0.39665
923	1	0.71175	0.28825
924	0	0.03162	0.96838
925	0	0.44018	0.55982
926	1	0.40023	0.59977
927	0	0.02458	0.97542
928	0	0.00984	0.99016
929	0	0.01973	0.98027
930	1	0.34683	0.65317
931	0	0.21269	0.78731
932	0	0.05141	0.94859
933	0	0.17735	0.82265
934	1	0.50105	0.49895
935	0	0.20110	0.79890
936	0	0.31267	0.68733
937	0	0.19673	0.80327
938	0	0.03186	0.96814
939	0	0.32642	0.67358
940	1	0.61480	0.38520
941	0	0.31208	0.68792
942	1	0.40354	0.59646
943	0	0.17941	0.82059
944	0	0.21645	0.78355
945	0	0.11450	0.88550
946	0	0.03441	0.96559
947	1	0.49268	0.50732
948	1	0.90306	0.09694
949	0	0.01790	0.98210
950	0	0.08945	0.91055
951	0	0.19711	0.80289
952	1	0.25943	0.74057
953	1	0.14896	0.85104
954	0	0.00465	0.99535
955	0	0.10485	0.89515
956	0	0.00735	0.99265
957	0	0.06449	0.93551
958	1	0.06742	0.93258
959	0	0.68605	0.31395
960	0	0.00876	0.99124

Obs.	class	P_class1	P_class0
961	0	0.03793	0.96207
962	1	0.80437	0.19563
963	0	0.09500	0.90500
964	0	0.08642	0.91358
965	1	0.56677	0.43323
966	0	0.06295	0.93705
967	0	0.01541	0.98459
968	0	0.22439	0.77561
969	0	0.44899	0.55101
970	0	0.14593	0.85407
971	1	0.71457	0.28543
972	1	0.52281	0.47719
973	0	0.11801	0.88199
974	1	0.45687	0.54313
975	0	0.36236	0.63764
976	1	0.83955	0.16045
977	0	0.02254	0.97746
978	0	0.00992	0.99008
979	1	0.79379	0.20621
980	1	0.05428	0.94572
981	0	0.06475	0.93525
982	0	0.01634	0.98366
983	0	0.55475	0.44525
984	1	0.33350	0.66650
985	0	0.54270	0.45730
986	1	0.43953	0.56047
987	1	0.41565	0.58435
988	0	0.48680	0.51320
989	0	0.31178	0.68822
990	0	0.11924	0.88076
991	0	0.01697	0.98303
992	0	0.10282	0.89718
993	0	0.14340	0.85660
994	1	0.92837	0.07163
995	0	0.02718	0.97282
996	0	0.08625	0.91375
997	0	0.25538	0.74462
998	0	0.40655	0.59345
999	0	0.04344	0.95656
1000	1	0.82431	0.17569

Modèle ROC : Naive Bayes



Test de Kolmogorov-Smirnov pour la variable SAS P_class0 Classification par variable class			
class	N	EDF au maximum	Ecart de la moyenne au maximum
0	700	0.152857	-4.845505
1	300	0.763333	7.401630
Total	1000	0.336000	
Ecart maximum en observation 425			
Valeur de P_class0 au Maximum = 0.491957			

Test à deux échantillons de Kolmogorov-Smirnov (Asymptotique)			
KS	0.279755	D	0.610476
KSa	8.846640	Pr > KSa	<.0001



Test de Cramer-von Mises pour la variable SAS P_class0 Classification par variable class		
class	N	Ecart total de la moyenne
0	700	11.483516
1	300	26.794870

Statistique de Cramer-von Mises (Asymptotique)			
CM	0.038278	CMA	38.278386

Test de Kuiper pour la variable SAS P_class0 Classification par variable class		
class	N	Ecart de la moyenne
0	700	0.000000
1	300	0.610476

Test à deux échantillons de Kuiper (Asymptotique)					
K	0.610476	Ka	8.846640	Pr > Ka	<.0001

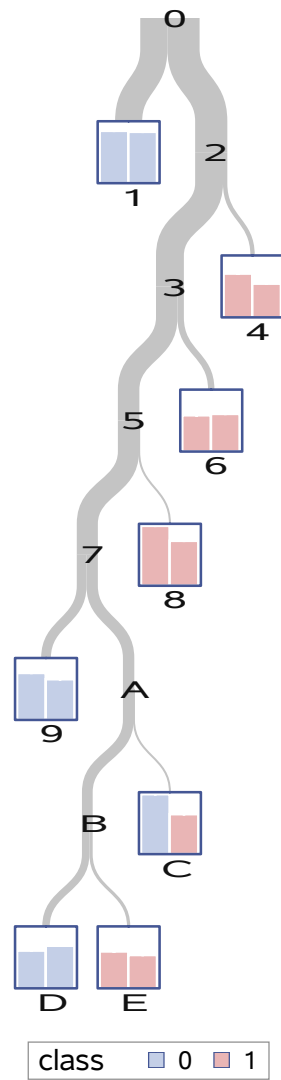
Informations sur les performances	
Mode d'exécution	Machine unique
Nombre de threads	2

Informations sur l'accès aux données			
Données	Moteur	Rôle	Chemin
WORK.CLEANED_DATA	V9	Entrée	Sur le client
WORK.SCORED	V9	Sortie	Sur le client

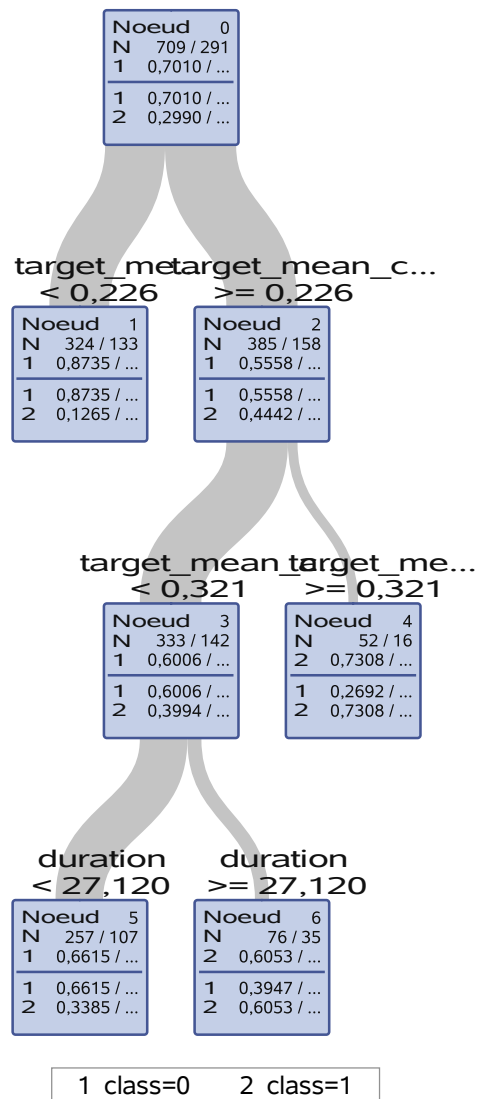
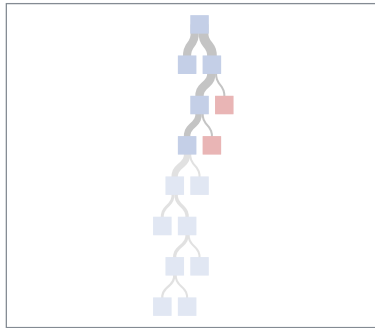
Informations sur le modèle	
Critère de fractionnement utilisé	Entropie
Méthode d'élagage	Complexité de coût
Critère d'évaluation du sous-arbre	Complexité de coût
Nombre de branches	2
Profondeur d'arbre max. demandée	10
Profondeur d'arbre max. réalisée	10
Profondeur d'arbre	7
Nombre de feuilles avant élagage	85
Nombre de feuilles après élagage	8
Niveau d'événement du modèle	0

Nombre d'observations lues	1000
Nombre d'observations utilisées	1000
Nombre d'observations d'apprentissage utilisées	709
Nombre d'observations de validation utilisées	291

Arbre de classification pour class



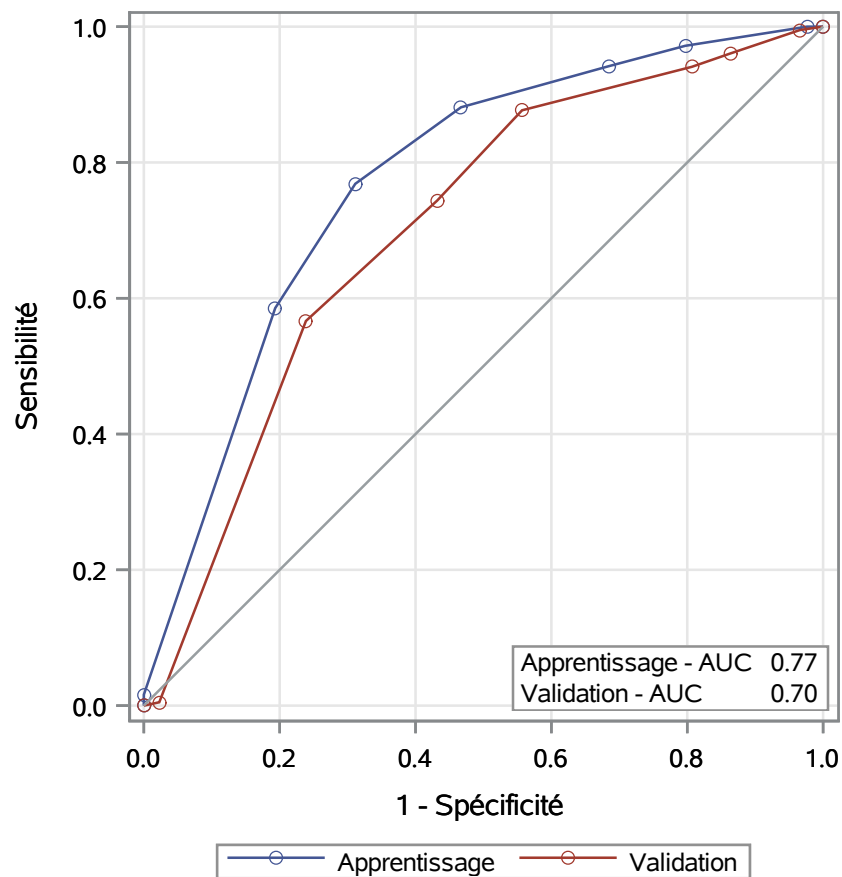
Sous-arbre démarrnant au noeud=0



Matrices de confusion				
		Prédit		Taux d'erreur
		0	1	
Apprentissage	Réalisé 0	438	59	0.1187
	1	99	113	0.4670
Validation	0	178	25	0.1232
	1	49	39	0.5568

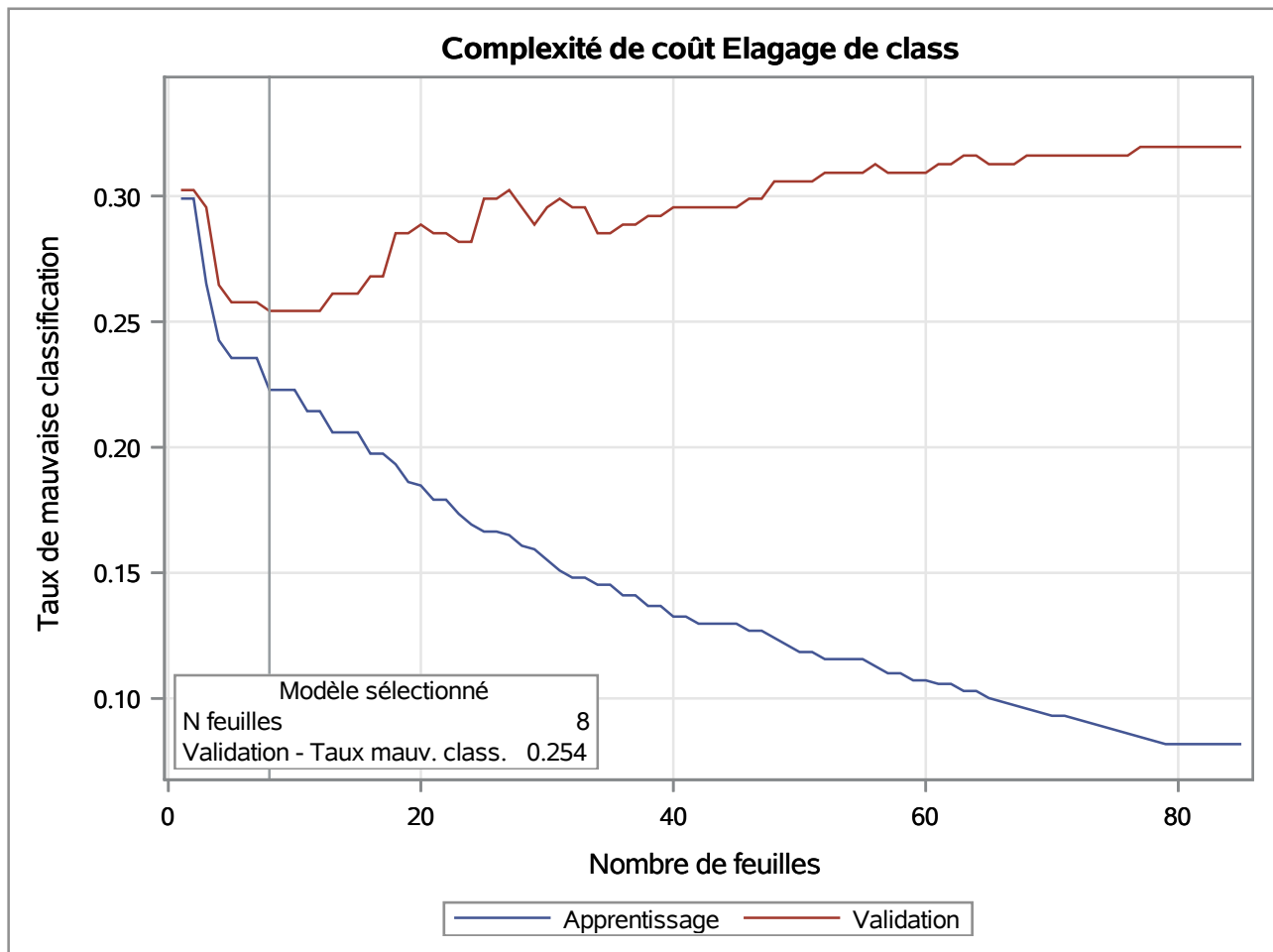
tests d'ajustement pour l'arbre sélectionné									
	N feuilles	ASE	Mauv-class	Sensibilité	Spécificité	Entropie	Gini	RSS	AUC
Apprentissage	8	0.1605	0.2228	0.8813	0.5330	0.7111	0.3210	227.6	0.7728
Validation	8	0.1868	0.2543	0.8768	0.4432	0.7687	0.3532	108.7	0.7049

Courbe ROC pour class



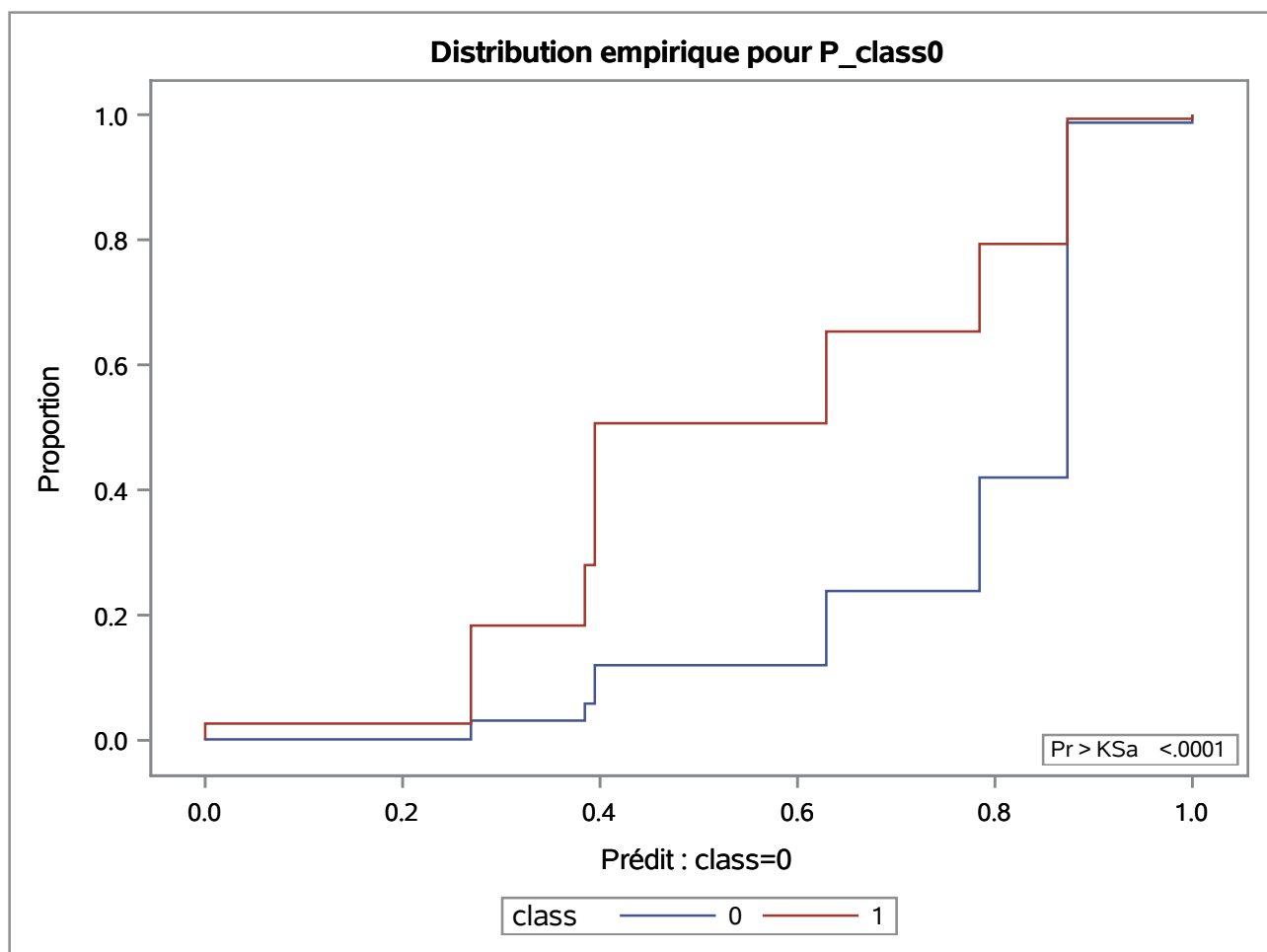
Importance des variables						
Variable	Apprentissage		Validation		Rapport relatif	Effectif
	Relatif	Importance	Relatif	Importance		
target_mean_checking_status	1.0000	5.9579	1.0000	3.5199	1.0000	1
duration	0.4849	2.8891	0.5681	1.9996	1.1715	1
target_mean_purpose	0.3023	1.8013	0.3477	1.2237	1.1499	1
credit_amount	0.3546	2.1124	0.2560	0.9012	0.7221	1

Importance des variables						
Variable	Apprentissage		Validation		Rapport relatif	Effectif
	Relatif	Importance	Relatif	Importance		
target_mean_credit_history	0.5275	3.1428	0.0000	0	0.0000	1
target_mean_personal_status	0.3824	2.2782	0.0000	0	0.0000	1
age	0.2900	1.7281	0.0000	0	0.0000	1



Test de Kolmogorov-Smirnov pour la variable SAS P_class0 Classification par variable class			
class	N	EDF au maximum	Ecart de la moyenne au maximum
0	700	0.238571	-3.292071
1	300	0.653333	5.028721
Total	1000	0.363000	
Ecart maximum en observation 499			
Valeur de P_class0 au Maximum = 0.629213			

Test à deux échantillons de Kolmogorov-Smirnov (Asymptotique)			
KS	0.190068	D	0.414762
KSa	6.010471	Pr > KSa	<.0001



Test de Cramer-von Mises pour la variable SAS P_class0 Classification par variable class		
class	N	Ecart total de la moyenne
0	700	4.154465
1	300	9.693751

Statistique de Cramer-von Mises (Asymptotique)			
CM	0.013848	CMA	13.848215

Test de Kuiper pour la variable SAS P_class0 Classification par variable class		
class	N	Ecart de la moyenne
0	700	0.000000
1	300	0.414762

Test à deux échantillons de Kuiper (Asymptotique)					
K	0.414762	Ka	6.010471	Pr > Ka	<.0001

Informations sur les performances	
Mode d'exécution	Machine unique
Nombre de threads	2

Informations sur l'accès aux données			
Données	Moteur	Rôle	Chemin
WORK.TRAIN	V9	Entrée	Sur le client

Informations sur le modèle		
Paramètre	Valeur	
Variables à tester	4	(Défaut)
Nb max. d'arbres	100	(Défaut)
Arbres réels	100	
Fraction Inbag	0.6	(Défaut)
Fraction d'élagage	0	(Défaut)
Seuil d'élagage	0.1	(Défaut)
Nb minimal de feuilles	0.00001	(Défaut)
Paramètre de taille de feuille	1	(Défaut)
Taille de feuille utilisée	1	
Classes de catégorie	30	(Défaut)
Classes continues	100	
Taille de catégorie min.	5	(Défaut)
Taille du noeud	100000	(Défaut)
Profondeur maximale	20	(Défaut)
Alpha	1	(Défaut)
Exhaustif	5000	(Défaut)
Lignes de séquence à ignorer	5	(Défaut)
Critère de division	.	Gini
Méthode de présélection	.	Loh
Traitement des valeurs manquantes	.	Valeur valide

Nombre d'observations	
Type	N
Nombre d'observations lues	700
Nombre d'observations utilisées	700

Tests d'ajustement de la ligne de base	
Statistique	Valeur
Erreur quadratique moyenne	0.210
Taux de mauvaise classification	0.300
Perte log.	0.611

Tests d'ajustement							
Nombre d'arbres	Nombre de feuilles	Erreur quadratique moyenne (Apprentissage)	Erreur quadratique moyenne (OOB)	Taux de mauvaise classification (Apprentissage)	Taux de mauvaise classification (OOB)	Perte Log (Apprentissage)	Perte Log (OOB)
1	105	0.1566	0.262	0.2014	0.293	1.974	4.492
2	211	0.1151	0.273	0.1557	0.317	0.516	4.061
3	305	0.1028	0.272	0.1386	0.331	0.379	3.650
4	378	0.0989	0.249	0.1300	0.316	0.322	2.751
5	481	0.0925	0.248	0.1086	0.327	0.311	2.579
6	586	0.0866	0.238	0.1000	0.326	0.298	2.288
7	677	0.0834	0.229	0.0843	0.319	0.293	2.047
8	802	0.0778	0.217	0.0671	0.303	0.281	1.711
9	918	0.0760	0.216	0.0643	0.300	0.278	1.562
10	1030	0.0742	0.205	0.0543	0.288	0.274	1.264
11	1140	0.0718	0.199	0.0543	0.284	0.269	1.163
12	1234	0.0710	0.193	0.0571	0.281	0.267	1.000
13	1328	0.0705	0.192	0.0486	0.278	0.268	0.938
14	1423	0.0704	0.193	0.0500	0.282	0.267	0.883
15	1513	0.0702	0.190	0.0443	0.280	0.267	0.791
16	1616	0.0698	0.188	0.0457	0.286	0.266	0.786
17	1732	0.0692	0.187	0.0514	0.284	0.265	0.759
18	1809	0.0695	0.185	0.0500	0.279	0.266	0.699
19	1933	0.0688	0.185	0.0500	0.269	0.264	0.702
20	2036	0.0682	0.182	0.0471	0.266	0.264	0.670
21	2139	0.0678	0.180	0.0457	0.259	0.263	0.632
22	2234	0.0683	0.179	0.0443	0.254	0.265	0.600
23	2336	0.0679	0.178	0.0471	0.257	0.264	0.570
24	2437	0.0675	0.178	0.0471	0.253	0.263	0.570
25	2540	0.0676	0.177	0.0443	0.247	0.264	0.566
26	2651	0.0676	0.177	0.0514	0.257	0.264	0.566
27	2725	0.0676	0.175	0.0457	0.257	0.263	0.562
28	2820	0.0673	0.175	0.0457	0.261	0.263	0.562
29	2923	0.0675	0.175	0.0443	0.263	0.263	0.563
30	3014	0.0676	0.175	0.0443	0.260	0.264	0.561
31	3114	0.0671	0.175	0.0429	0.266	0.263	0.561
32	3203	0.0667	0.174	0.0386	0.263	0.262	0.556
33	3289	0.0665	0.174	0.0457	0.256	0.261	0.556
34	3380	0.0665	0.173	0.0371	0.256	0.261	0.556
35	3482	0.0662	0.173	0.0400	0.253	0.261	0.554
36	3599	0.0657	0.173	0.0371	0.250	0.260	0.555
37	3695	0.0657	0.172	0.0371	0.250	0.260	0.554
38	3777	0.0658	0.172	0.0371	0.249	0.260	0.554

Tests d'ajustement							
Nombre d'arbres	Nombre de feuilles	Erreur quadratique moyenne (Apprentissage)	Erreur quadratique moyenne (OOB)	Taux de mauvaise classification (Apprentissage)	Taux de mauvaise classification (OOB)	Perte Log (Apprentissage)	Perte Log (OOB)
39	3885	0.0655	0.171	0.0371	0.247	0.259	0.551
40	3983	0.0657	0.172	0.0386	0.244	0.260	0.552
41	4084	0.0657	0.172	0.0414	0.246	0.259	0.553
42	4179	0.0656	0.172	0.0414	0.250	0.259	0.554
43	4281	0.0660	0.172	0.0386	0.249	0.260	0.555
44	4386	0.0659	0.172	0.0371	0.246	0.260	0.554
45	4469	0.0661	0.172	0.0371	0.244	0.261	0.553
46	4571	0.0661	0.172	0.0414	0.240	0.261	0.552
47	4678	0.0659	0.172	0.0429	0.237	0.260	0.552
48	4779	0.0660	0.172	0.0429	0.243	0.260	0.552
49	4890	0.0655	0.171	0.0400	0.246	0.259	0.552
50	4974	0.0657	0.171	0.0443	0.244	0.260	0.551
51	5083	0.0657	0.171	0.0414	0.240	0.260	0.552
52	5193	0.0656	0.171	0.0400	0.241	0.260	0.551
53	5284	0.0655	0.170	0.0414	0.240	0.260	0.549
54	5367	0.0659	0.170	0.0386	0.239	0.260	0.548
55	5465	0.0658	0.170	0.0371	0.239	0.260	0.549
56	5564	0.0656	0.170	0.0400	0.239	0.259	0.547
57	5672	0.0653	0.170	0.0400	0.236	0.258	0.547
58	5764	0.0653	0.170	0.0386	0.236	0.258	0.524
59	5857	0.0652	0.170	0.0386	0.236	0.258	0.525
60	5942	0.0653	0.170	0.0400	0.229	0.258	0.521
61	6046	0.0655	0.170	0.0400	0.230	0.259	0.522
62	6161	0.0652	0.170	0.0400	0.236	0.258	0.521
63	6235	0.0655	0.170	0.0414	0.239	0.259	0.521
64	6349	0.0656	0.170	0.0400	0.236	0.260	0.521
65	6444	0.0658	0.170	0.0400	0.237	0.260	0.520
66	6555	0.0657	0.170	0.0400	0.244	0.260	0.519
67	6648	0.0655	0.170	0.0400	0.246	0.260	0.518
68	6751	0.0653	0.169	0.0400	0.241	0.259	0.515
69	6843	0.0653	0.169	0.0386	0.247	0.259	0.516
70	6953	0.0653	0.170	0.0371	0.244	0.259	0.516
71	7064	0.0652	0.169	0.0400	0.237	0.259	0.516
72	7155	0.0652	0.169	0.0400	0.237	0.259	0.515
73	7248	0.0650	0.169	0.0400	0.237	0.259	0.515
74	7346	0.0652	0.169	0.0386	0.239	0.259	0.515
75	7468	0.0650	0.169	0.0386	0.233	0.258	0.515
76	7570	0.0647	0.169	0.0371	0.233	0.258	0.514

Tests d'ajustement							
Nombre d'arbres	Nombre de feuilles	Erreur quadratique moyenne (Apprentissage)	Erreur quadratique moyenne (OOB)	Taux de mauvaise classification (Apprentissage)	Taux de mauvaise classification (OOB)	Perte Log (Apprentissage)	Perte Log (OOB)
77	7668	0.0645	0.169	0.0371	0.234	0.257	0.513
78	7776	0.0645	0.169	0.0371	0.237	0.257	0.513
79	7874	0.0646	0.169	0.0386	0.237	0.258	0.514
80	7959	0.0647	0.169	0.0371	0.240	0.258	0.513
81	8064	0.0646	0.169	0.0357	0.237	0.258	0.512
82	8146	0.0647	0.168	0.0357	0.237	0.258	0.511
83	8249	0.0645	0.168	0.0357	0.234	0.258	0.510
84	8360	0.0645	0.168	0.0357	0.234	0.258	0.510
85	8473	0.0645	0.168	0.0343	0.237	0.257	0.509
86	8570	0.0644	0.167	0.0329	0.236	0.257	0.509
87	8672	0.0644	0.167	0.0329	0.230	0.257	0.508
88	8774	0.0644	0.167	0.0329	0.230	0.257	0.509
89	8876	0.0643	0.167	0.0357	0.229	0.257	0.508
90	8967	0.0643	0.167	0.0329	0.231	0.257	0.507
91	9062	0.0643	0.167	0.0343	0.231	0.257	0.508
92	9166	0.0642	0.167	0.0371	0.236	0.257	0.507
93	9277	0.0641	0.167	0.0357	0.236	0.257	0.507
94	9371	0.0640	0.167	0.0357	0.237	0.257	0.508
95	9460	0.0641	0.167	0.0357	0.230	0.257	0.508
96	9574	0.0641	0.167	0.0357	0.234	0.257	0.508
97	9685	0.0641	0.167	0.0357	0.234	0.257	0.508
98	9791	0.0641	0.167	0.0357	0.231	0.257	0.508
99	9887	0.0641	0.167	0.0357	0.237	0.257	0.509
100	9986	0.0641	0.167	0.0343	0.241	0.257	0.507

Importance des variables de réduction de perte					
Variable	Nombre de règles	Gini	Gini OOB	Marge	Marge OOB
target_mean_checking_status	402	0.034486	0.02609	0.068972	0.06187
target_mean_credit_history	324	0.017110	0.00443	0.034221	0.02408
target_mean_foreign_worker	19	0.000560	0.00010	0.001120	0.00033
target_mean_other_parties	61	0.002676	-0.00001	0.005352	0.00227
target_mean_housing	184	0.006316	-0.00186	0.012632	0.00419
target_mean_property_magnitude	270	0.009569	-0.00198	0.019138	0.00707
target_mean_telephone	213	0.003780	-0.00208	0.007561	0.00081
target_mean_other_payment_plans	135	0.003868	-0.00218	0.007736	0.00276
target_mean_job	195	0.004352	-0.00241	0.008705	0.00202
target_mean_savings	164	0.005483	-0.00290	0.010966	0.00268

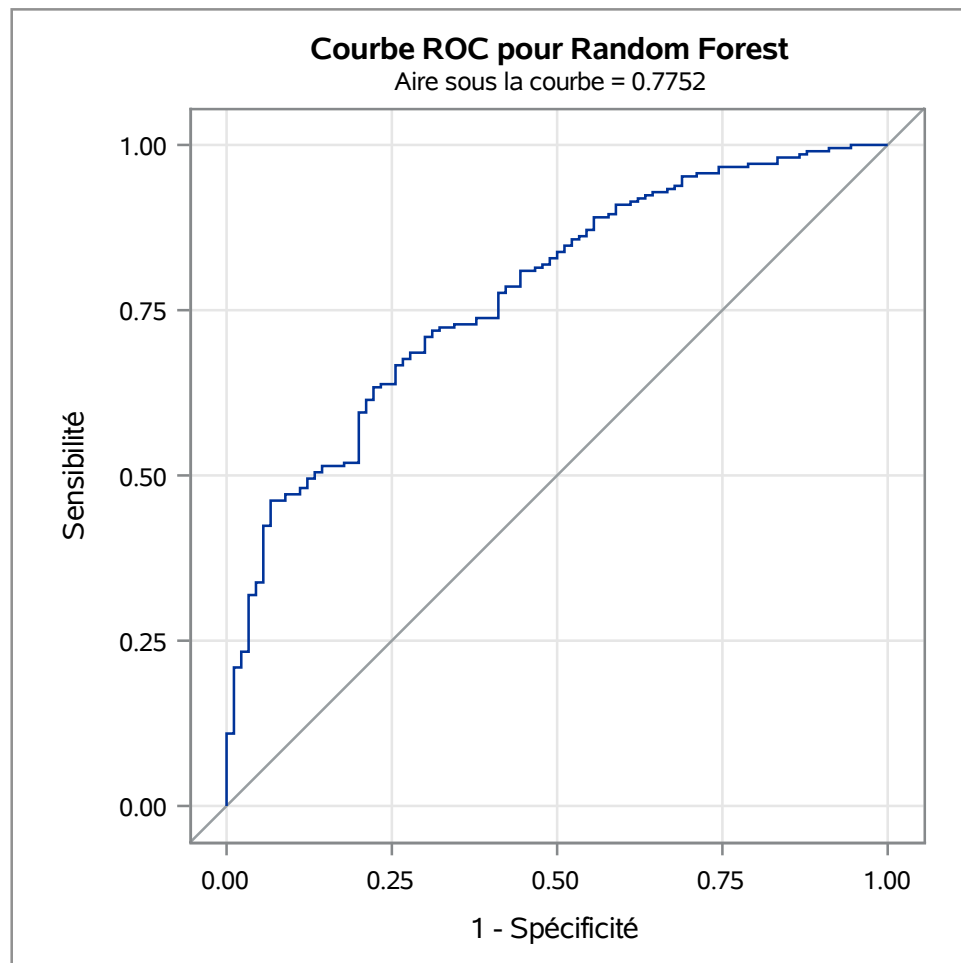
Importance des variables de réduction de perte					
Variable	Nombre de règles	Gini	Gini OOB	Marge	Marge OOB
target_mean_personal_status	202	0.004829	-0.00432	0.009658	0.00222
target_mean_employment	280	0.009411	-0.00518	0.018822	0.00542
target_mean_purpose	249	0.007988	-0.00543	0.015977	0.00601
num_dependents	537	0.008299	-0.00764	0.016597	-0.00044
existing_credits	733	0.011996	-0.01007	0.023992	0.00242
installment_rate	1063	0.022363	-0.01664	0.044726	0.00508
residence_since	1096	0.021604	-0.02299	0.043208	-0.00098
age	1102	0.034620	-0.02418	0.069241	0.00801
duration	1208	0.036441	-0.02546	0.072883	0.01202
credit_amount	1449	0.046932	-0.03800	0.093865	0.00776

Informations sur les performances	
Mode d'exécution	Machine unique
Nombre de threads	2

Informations sur l'accès aux données			
Données	Moteur	Rôle	Chemin
WORK.TEST	V9	Entrée	Sur le client
WORK.RF_SCORING	V9	Sortie	Sur le client

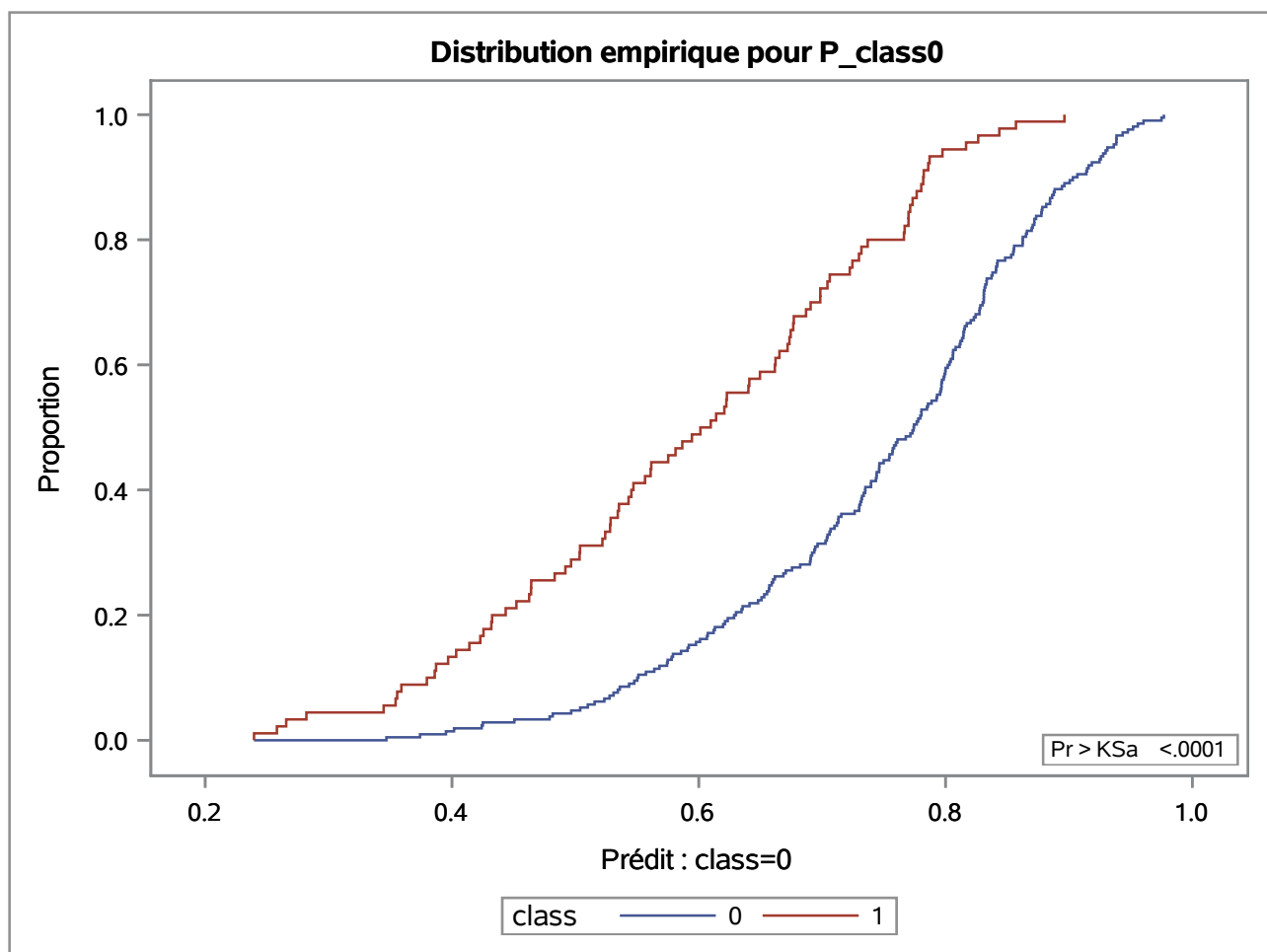
Nombre d'observations	
Type	N
Nombre d'observations lues	300
Nombre d'observations utilisées	300
Somme des fréquences utilisées	300

Modèle ROC : Random Forest



Test de Kolmogorov-Smirnov pour la variable SAS P_class0 Classification par variable class			
class	N	EDF au maximum	Ecart de la moyenne au maximum
0	210	0.333333	-1.787270
1	90	0.744444	2.730100
Total	300	0.456667	
Ecart maximum en observation 258			
Valeur de P_class0 au Maximum = 0.706176			

Test à deux échantillons de Kolmogorov-Smirnov (Asymptotique)			
KS	0.188395	D	0.411111
KSa	3.263093	Pr > KSa	<.0001



Test de Cramer-von Mises pour la variable SAS P_class0 Classification par variable class		
class	N	Ecart total de la moyenne
0	210	1.673662
1	90	3.905211

Statistique de Cramer-von Mises (Asymptotique)			
CM	0.018596	CMa	5.578873

Test de Kuiper pour la variable SAS P_class0 Classification par variable class		
class	N	Ecart de la moyenne
0	210	0.000000
1	90	0.411111

Test à deux échantillons de Kuiper (Asymptotique)					
K	0.411111	Ka	3.263093	Pr > Ka	<.0001